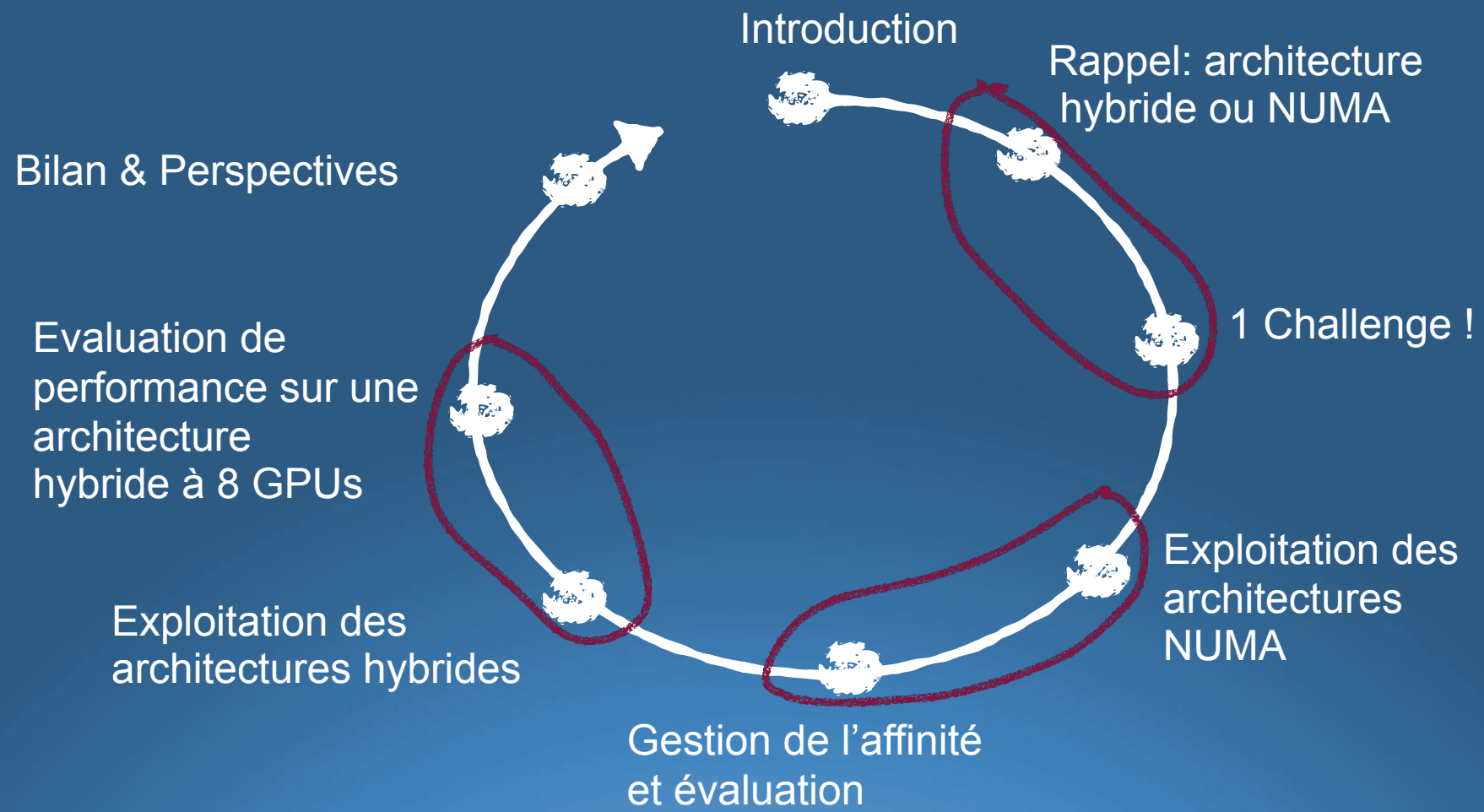




Programmation parallèles des architectures modernes de calcul: pourquoi ? et comment ?

thierry.gautier@inrialpes.fr
CR INRIA, EPI AVALON

Agenda



Pourquoi la « programmation parallèle »

- **Bénéficier des progrès technologiques**

- la fréquence des processeurs stagne depuis environ 10 ans
- le nombre de transistors augmente
- la parallélisation automatique fonctionne dans un cadre limité

- **Gain en temps de calcul**

- problème plus gros avec une échéance de résultat
- plusieurs problèmes simultanément
- être plus efficace

- **Permet de traiter des problèmes plus importants**

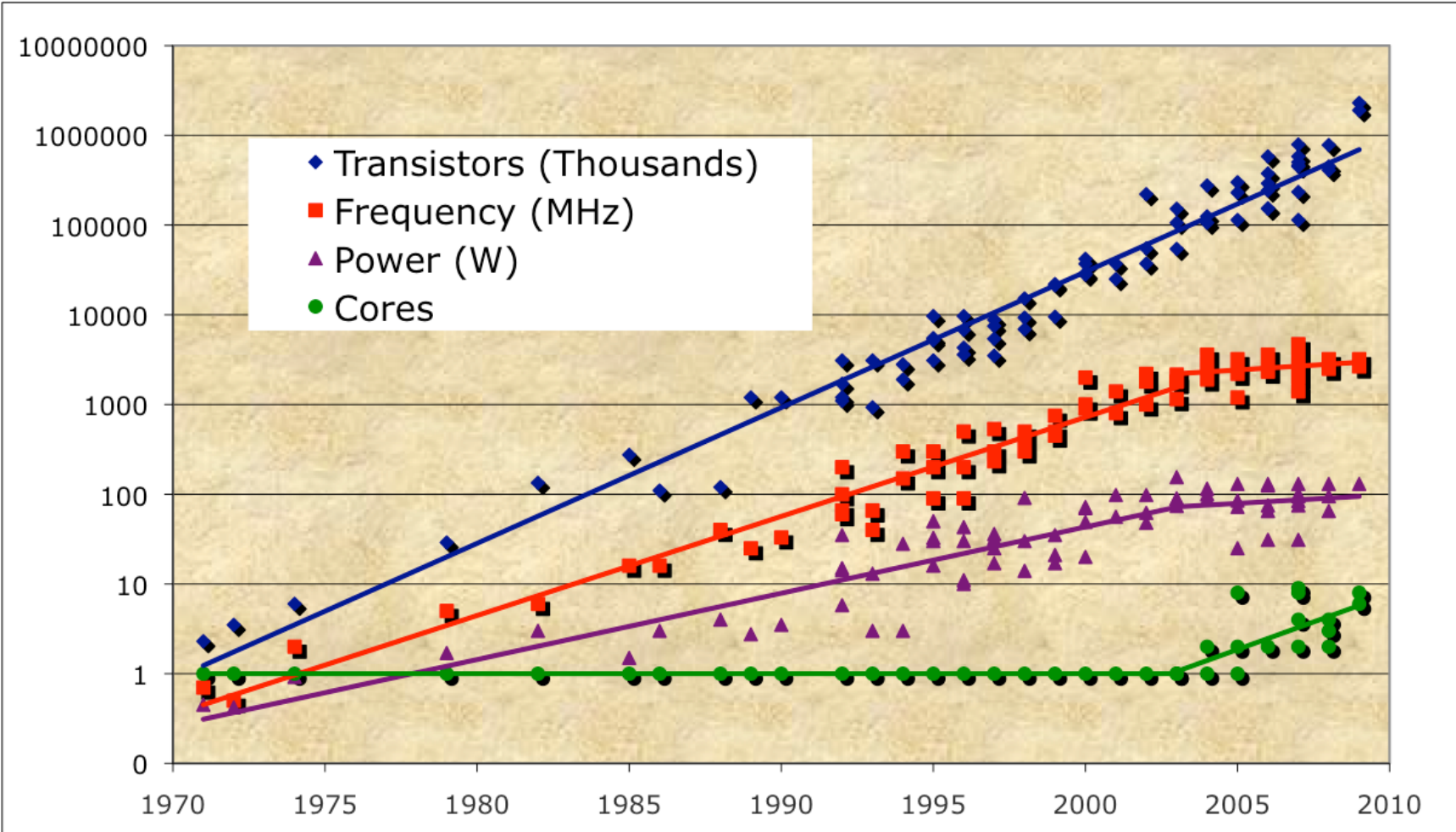
- utilisation de la mémoire de plusieurs processeurs

- **Si votre application n'a pas été parallélisé, vous n'avez sans doute plus le choix**

Top 500: <https://www.top500.org>

Rank	System	Cores	Rmax (TFlop/s)	Rpeak (TFlop/s)	Power (kW)
1	Sunway TaihuLight - Sunway MPP, Sunway SW26010 260C 1.45GHz, Sunway , NRCPC National Supercomputing Center in Wuxi China	10,649,600	93,014.6	125,435.9	15,371
2	Tianhe-2 [MilkyWay-2] - TH-IVB-FEP Cluster, Intel Xeon E5-2692 12C 2.200GHz, TH Express-2, Intel Xeon Phi 31S1P , NUDT National Super Computer Center in Guangzhou China	3,120,000	33,862.7	54,902.4	17,808
3	Piz Daint - Cray XC50, Xeon E5-2690v3 12C 2.6GHz, Aries interconnect , NVIDIA Tesla P100 , Cray Inc. Swiss National Supercomputing Centre (CSCS) Switzerland	361,760	19,590.0	25,326.3	2,272
4	Gyoukou - ZettaScaler-2.2 HPC system, Xeon D-1571 16C 1.3GHz, Infiniband EDR, PEZY-SC2 700Mhz , ExaScaler Japan Agency for Marine-Earth Science and Technology Japan	19,860,000	19,135.8	28,192.0	1,350
5	Titan - Cray XK7, Opteron 6274 16C 2.200GHz, Cray Gemini interconnect, NVIDIA K20x , Cray Inc. DOE/SC/Oak Ridge National Laboratory United States	560,640	17,590.0	27,112.5	8,209
6	Sequoia - BlueGene/Q, Power BQC 16C 1.60 GHz, Custom , IBM DOE/NNSA/LLNL United States	1,572,864	17,173.2	20,132.7	7,890
7	Trinity - Cray XC40, Intel Xeon Phi 7250 68C 1.4GHz, Aries interconnect , Cray Inc. DOE/NNSA/LANL/SNL United States	979,968	14,137.3	43,902.6	3,844
8	Cori - Cray XC40, Intel Xeon Phi 7250 68C 1.4GHz, Aries interconnect , Cray Inc. DOE/SC/LBNL/NERSC United States	622,336	14,014.7	27,880.7	3,939
9	Oakforest-PACS - PRIMERGY CX1640 M1, Intel Xeon Phi 7250 68C 1.4GHz, Intel Omni-Path , Fujitsu Joint Center for Advanced High Performance Computing Japan	556,104	13,554.6	24,913.5	2,719
10	K computer, SPARC64 VIIIfx 2.0GHz, Tofu interconnect , Fujitsu RIKEN Advanced Institute for Computational Science (AICS) Japan	705,024	10,510.0	11,280.4	12,660

Tendance



Many-{node,core} to Multi-{node,core}



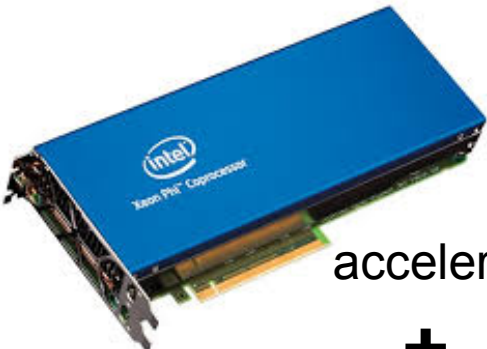
processor

+



memory

+



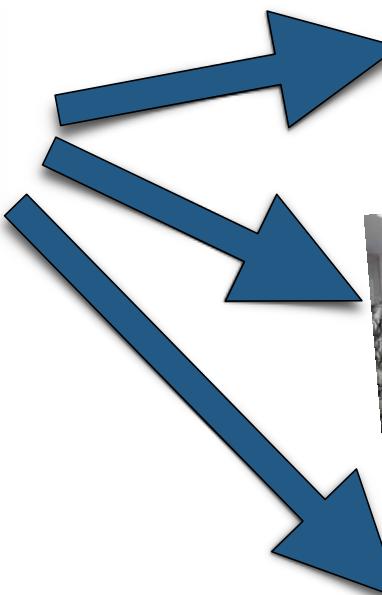
accelerator



+

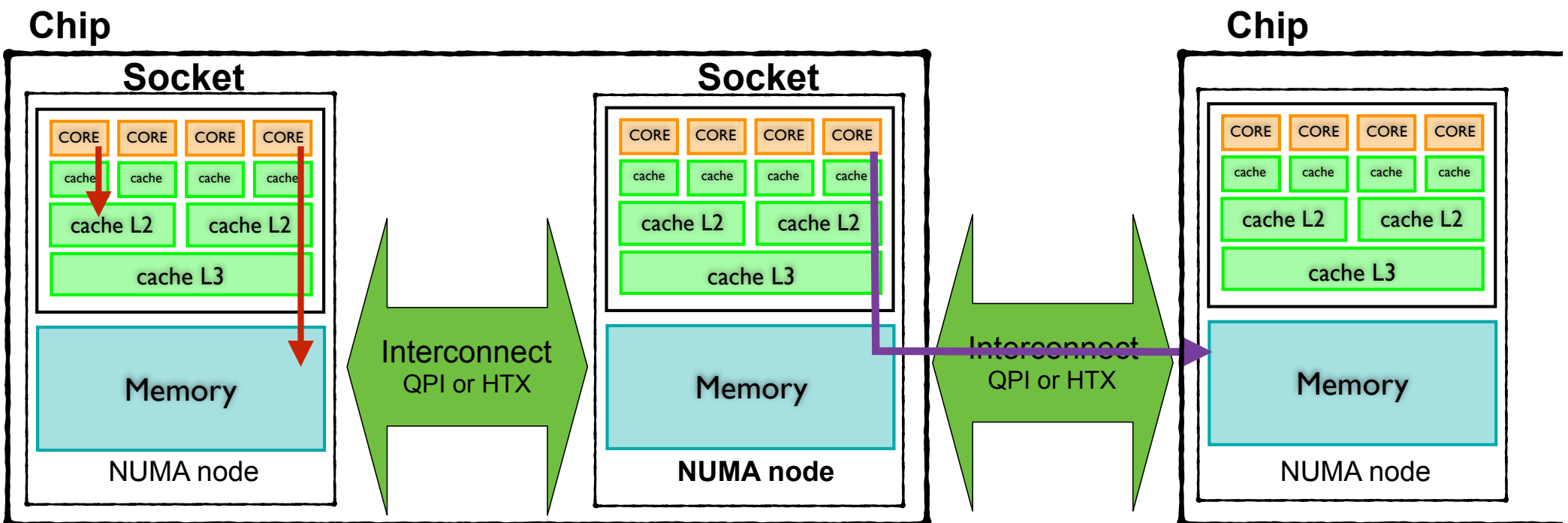


- + network
- + I/O
- + ...



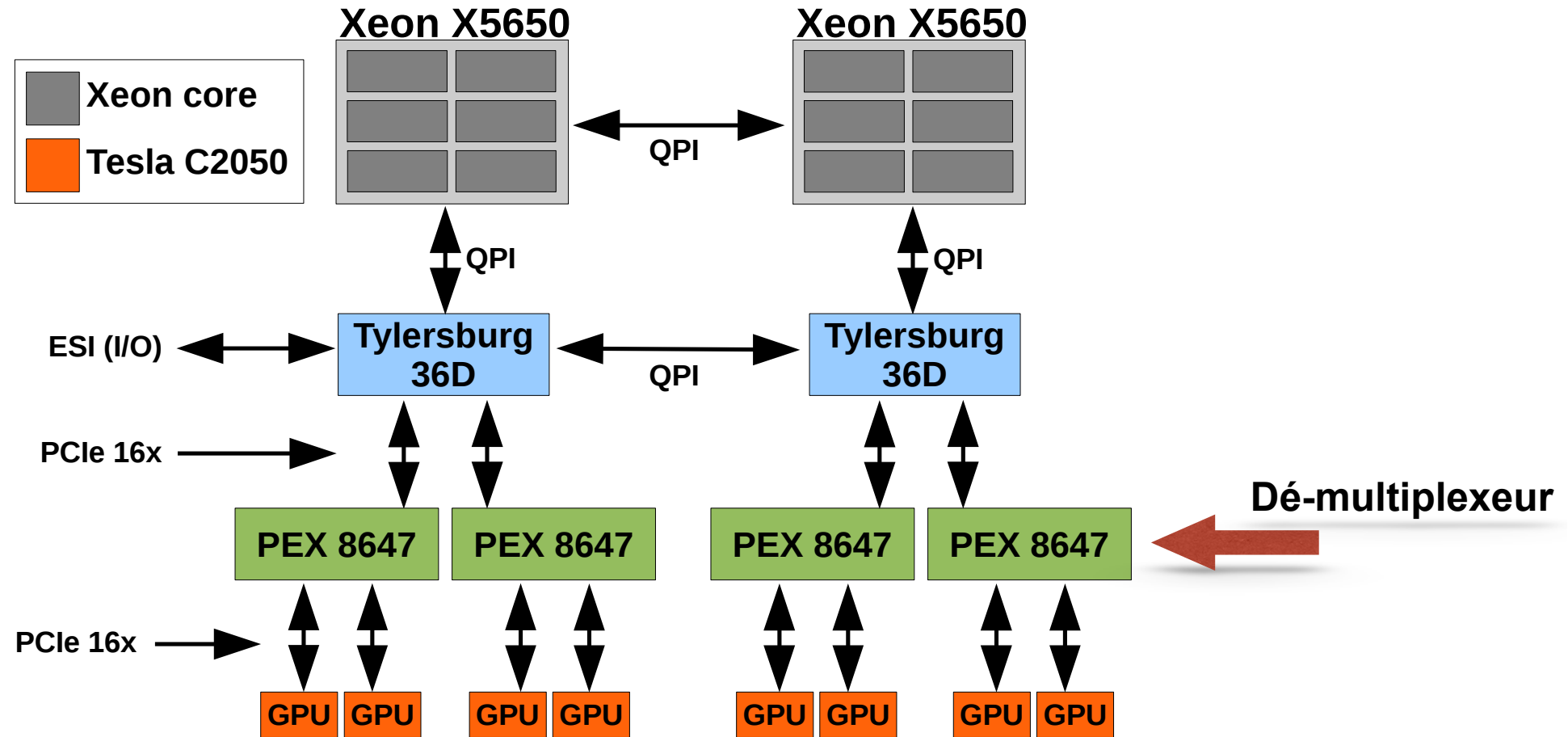
Architecture NUMA

- **NUMA = Non Uniform Memory Access**
 - ≠ PRAM mostly due to Non Uniform Memory Access



NUMA hybride multi-CPUs/multi-GPUs

- idgraph [G5K/Digitalis, 2011] 8 GPUs et 12 CPUs



Caractéristique de ces architectures

- **NUMA**

- le coût d'exécution dépend de l'emplacement du calcul et des données

- **Calcul hybride CPU / GPU**

- choix du placement du calcul
 - gestion de communication CPU/GPU ou GPU/GPU (~mémoire uniforme)

- **Plusieurs modèles de programmation parallèle**

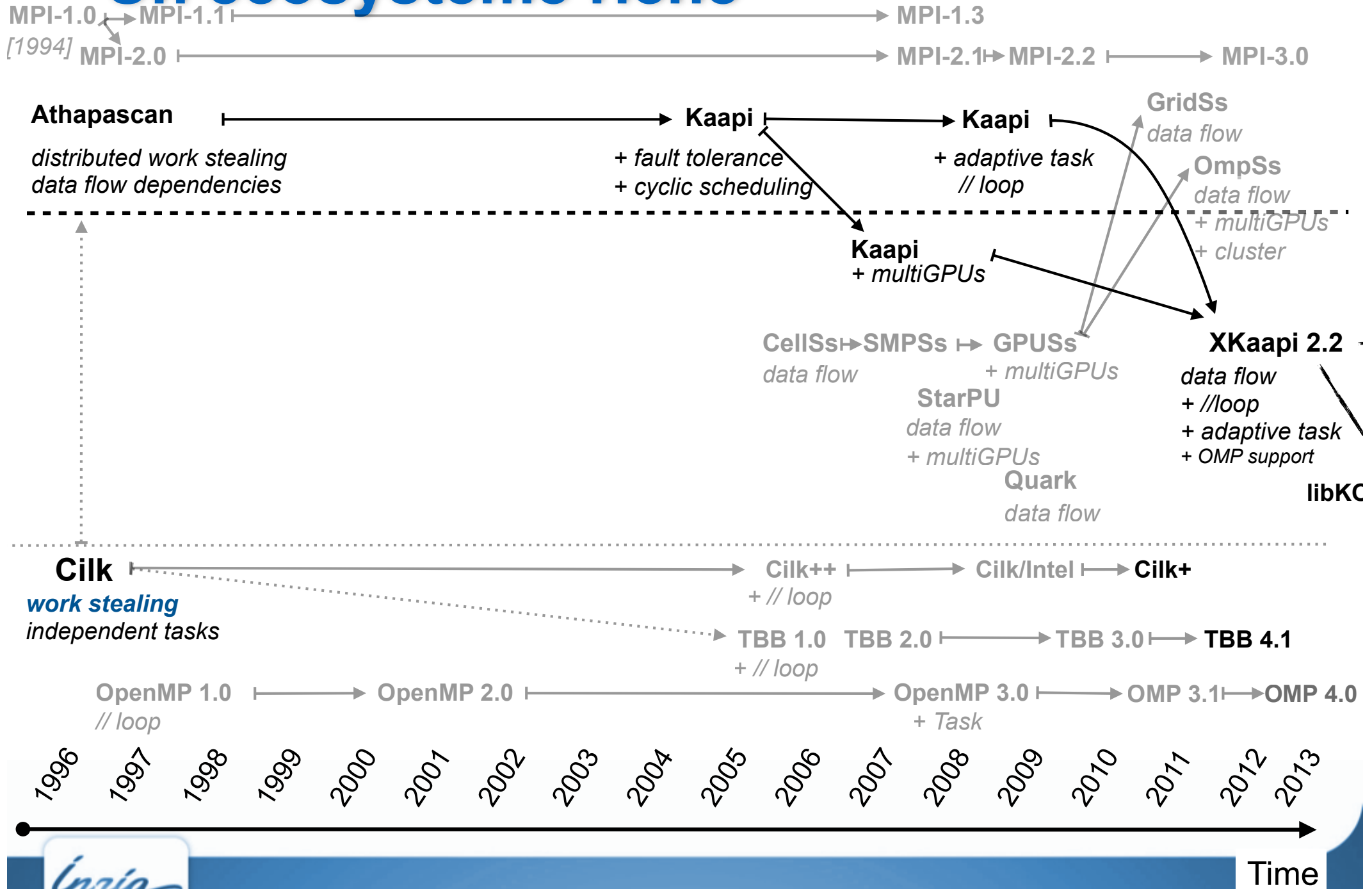
- **NUMA:**

- parallélisme entre cores
 - parallélisme entre les instructions + vectoriel (AVX)

- **GPU**

- idem mais avec une autre terminologie [Jonathan]

Un écosystème riche



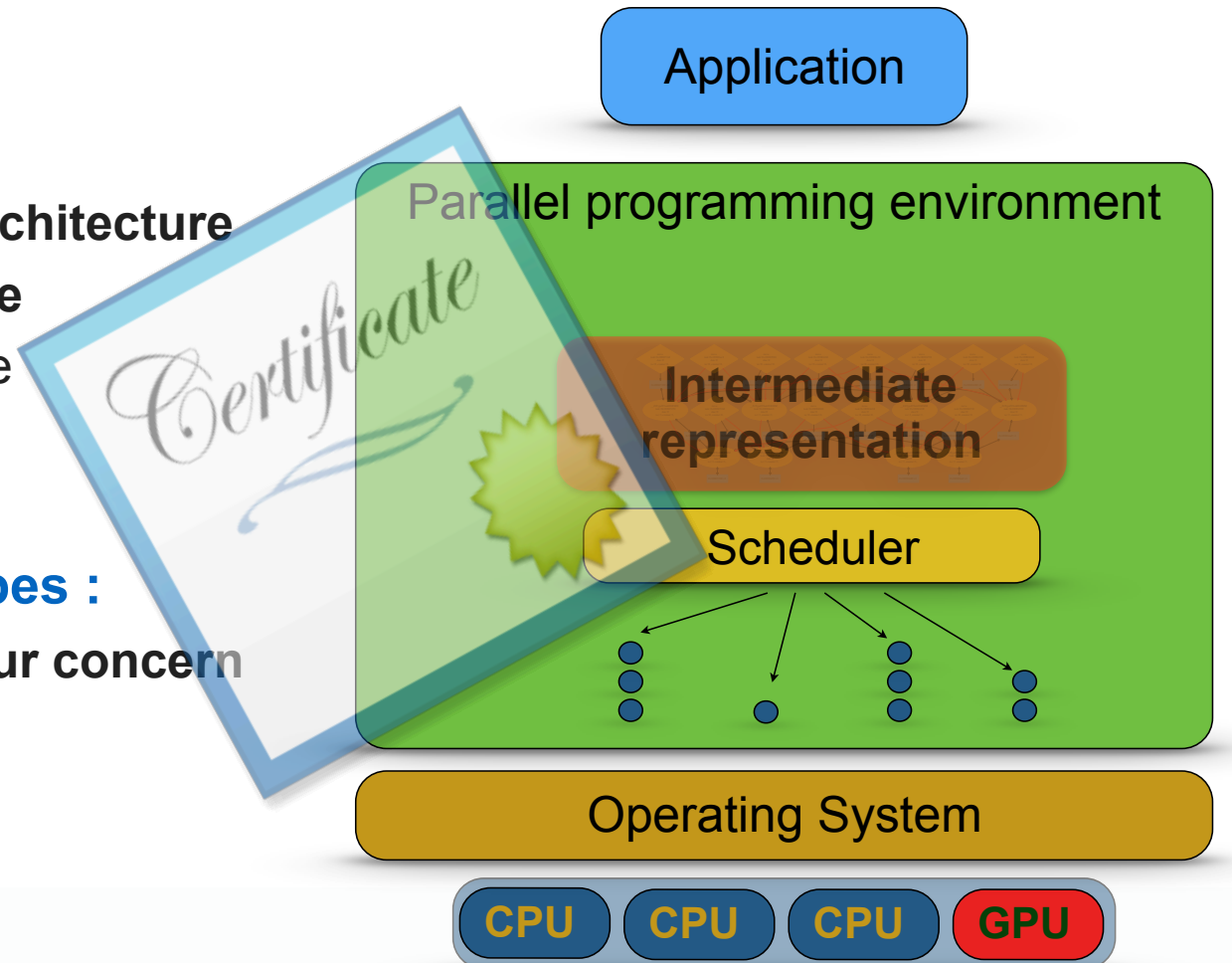
Challenge: portabilité des performances !

- **Portabilité des performances**

- sur plusieurs générations d'architecture
- avec de l'équilibrage de charge
 - OS jitter, application irrégulière

- **Approche proposée en 2 étapes :**

1. **algorithme parallèle** ↗ **its your concern**
 - communications
2. **scheduling as a plugin**



Comment programmer en parallèle ?

1. Parallélisation de l'algorithme de calcul

- décomposition du problème en sous problèmes indépendants
- un « bon algorithme parallèle »
 - efficace (~ même nombre d'opérations qu'en séquentiel)
 - très parallèle afin d'exploiter tout le parallélisme disponible

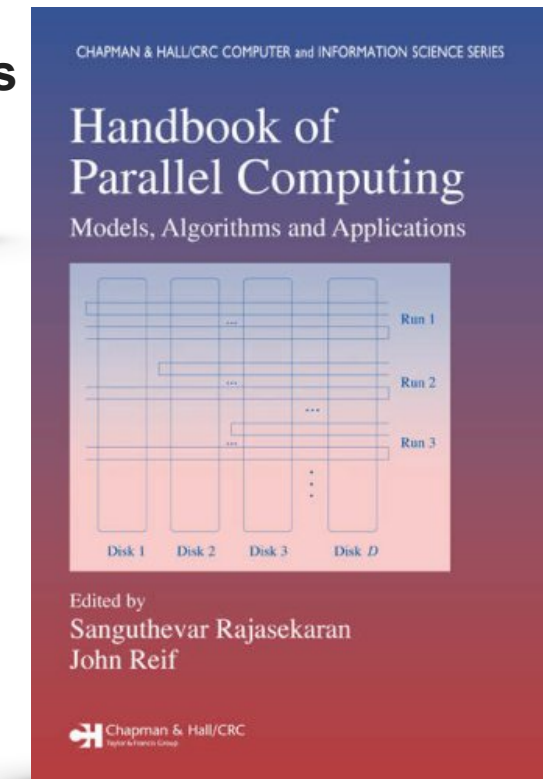
$$T_p, T_\infty, w$$

• Loi d'Amdahl (pessimiste)

- s : fraction du programme exécuté en séquentiel
- $(1-s)$: fraction du programme exécuté en parallèle
- p nombre de coeurs
- Alors le speedup est borné par : $Speedup(p) = \frac{T_{\text{séquentiel}}}{T_p}$

• Loi de Gustafson (optimiste)

$$\leq \frac{1}{s + \frac{1-s}{p}}$$



Comment exécuter ces programmes ?

2. Réguler la charge de travail sur les coeurs

- étape 1 => degré de parallélisme important

- portabilité, « parallel slackness »

- problème du re-pliage des activités dues aux décompositions en sous problème sur des ressources limitées

- problème d'ordonnancement compliqué

- approche « offline »

 - un modèle d'application : classiquement un graphe de tâche

 - un modèle de performance : connaître le temps d'exécution d'une tâche sur une ressource

 - un algorithme qui calcule une date et un site d'exécution pour chaque tâche afin d'optimiser une fonction objectif (temps d'exécution, mémoire, énergie)

- approche « online »

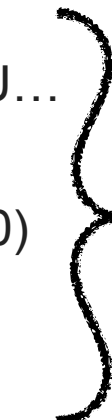
 - prédition de temps ou temps d'exécution réels non connu à l'avance

 - Vol de travail, avec une bonne probabilité :

$$T_p = O\left(\frac{T_{avg}}{p} + T_{var}\right)$$

Programmation des architectures NUMA

- Multi/many core
- Top-down classification
 - network
 - MPI, PGAS (UPC), X10
 - multi-core
 - OpenMP, Cilk, Intel TBB, XKaapi, StarPU...
 - accelerator
 - Cuda, OpenCL, OpenACC, OpenMP (4.0)
 - vector / SIMD unit
 - compiler, extended type, OpenMP (4.0)



OpenMP 4.x

Permanent Members of the ARB:

- AMD (Greg Stoner)
- ARM (Chris Adeniyi-Jones)
- Cray (Luiz DeRose)
- Fujitsu (Eiji Yamanaka)
- HP (Sujoy Saraswati)
- IBM (Kelvin Li)
- Intel (Xinmin Tian)
- Micron (Kirby Collins)
- NEC (Kazuhiro Kusano)
- NVIDIA (Jeff Larkin)
- Oracle Corporation (Nawal Cotty)
- Red Hat (Matt Newsome)
- Texas Instruments (Andy Fritsch)

Auxiliary Members of the ARB:

- Argonne National Laboratory (Kalyan Kumaran)
- ASC/Lawrence Livermore National Laboratory (Bronis R. de Supinski)
- Barcelona Supercomputing Center (Xavier Martorell)
- cOMPunity (Barbara Chapman/Yonghong Yan)
- Edinburgh Parallel Computing Centre (EPCC) (Mark Bull)
- Los Alamos National Laboratory (David Montoya)
- Lawrence Berkeley National Laboratory (Alice Koniges/Helen He)
- NASA (Henry Jin)
- Oak Ridge National Laboratory (Oscar Hernandez)
- RWTH Aachen University (Dieter an Mey)
- Sandia National Laboratory (Stephen Olivier)
- Texas Advanced Computing Center (Kent Milfeld)
- University of Houston (Barbara Chapman/Deepak Eachempati)

[+2016]

- INRIA Storm (O. Aumage)

Zoom sur deux modèles de programmation par tâche

- Thème de recherche actif

- Old Age: Cilk, Athapascan, Jade, Sam, Sisal, Multilisp, Fx-Fortran...
- OpenMP-3 and 4.x, OMPss, StarPU, Kaapi & XKaapi, Swan, Qthread, Quark, X10, IntelTBB, Microsoft PPL, HPX...

- De bonnes propriétés des modèles par tâche

- Composabilité
- Portabilité des codes = *scheduler as a plugin*
 - code = déclaration des tâches + dépendances
 - scheduler restant difficile à prouver

- Zoom

- Multi-CPU NUMA = OpenMP + libKOMP
- Multi-CPUs/GPUs = Kaapi

OpenMP + libKOMP

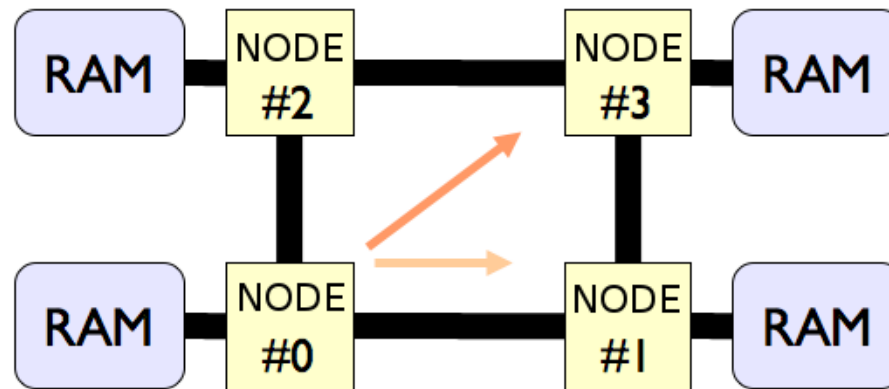
Prise en compte des aspects NUMA

Travail effectué avec F. Broquedis, UGA, LIG équipe CORSE et P. Virouleau, PhD.

Architecture NUMA

- Coût des calculs dépendant de :
 - localisation des données
 - charges des liens d'interconnexion des mémoires

- Exemple :



Access to...	Local node	Neighbor node	Opposite node
Read	83 ns	98 ns (x1.18)	117 ns (x1.41)
Write	142 ns	177 ns (x1.25)	208 ns (x1.46)

© P. Virouleau

Programmation par tâche & NUMA

- **Impact sur l'algorithme**

- **a minima distribution des données sur les bancs NUMA**
 - outil système : numactl
 - initialisation = une tâche + first touch policy de l'OS
 - le core d'exécution allouera les pages touchées

- **Comment mieux gérer la localité ?**

- **le scheduler a une représentation du programme**
 - graphe de tâches
- **quelle politique de scheduling ?**
- **impact sur le runtime ?**

OpenMP

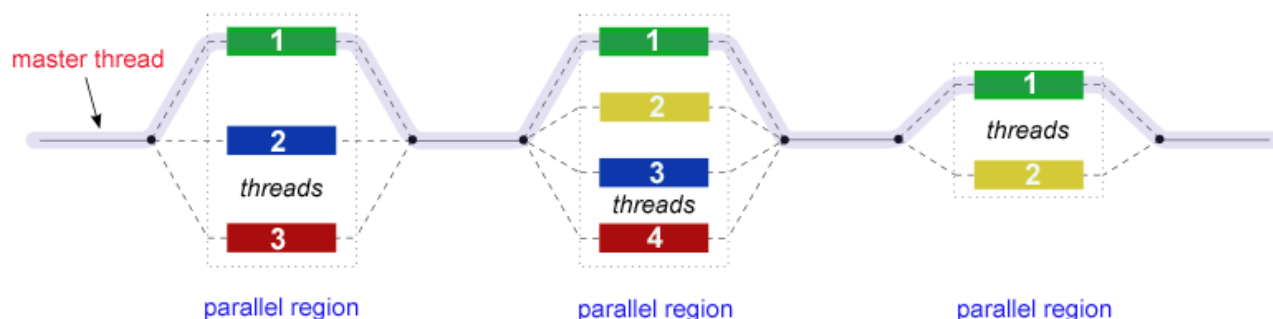


- Basé sur des directives de compilation

- le compilateur générer des appels à des fonctions d'un runtime pour gérer quasiment tout le parallélisme
- C,C++, Fortran

- Modèle d'exécution

- séquence de régions parallèles / régions séquentielles



- Des directives pour:

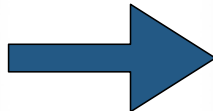
- distribuer le travail entre threads (work sharing constructs)
- task (independent and dependent)
- synchronisation

Création de tâche

- création de tâche == annotation OpenMP
- Ici tâches avec dépendance

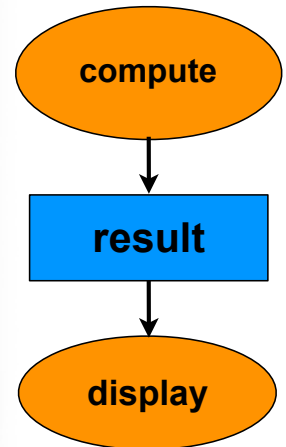
```
void main()
{
    /* data result is produced */
    compute( size, result );

    /* data result is consumed */
    display( size, result );
}
```



```
void main()
{
    #pragma omp parallel
    #pragma omp master
    {
        #pragma omp task depend(out: result)
        compute( size, result );

        #pragma omp task depend(in: result)
        display( size, result );
    }
}
```



- Compile with GCC, ICC, CLANG et bien d'autres, IBM, PGI...

- Ok, Easy ! Let us introduce Cholesky matrix factorization

Factorisation de Cholesky

- Factorisation d'une matrice A symétrique définie positive

- $A = L * L^t$

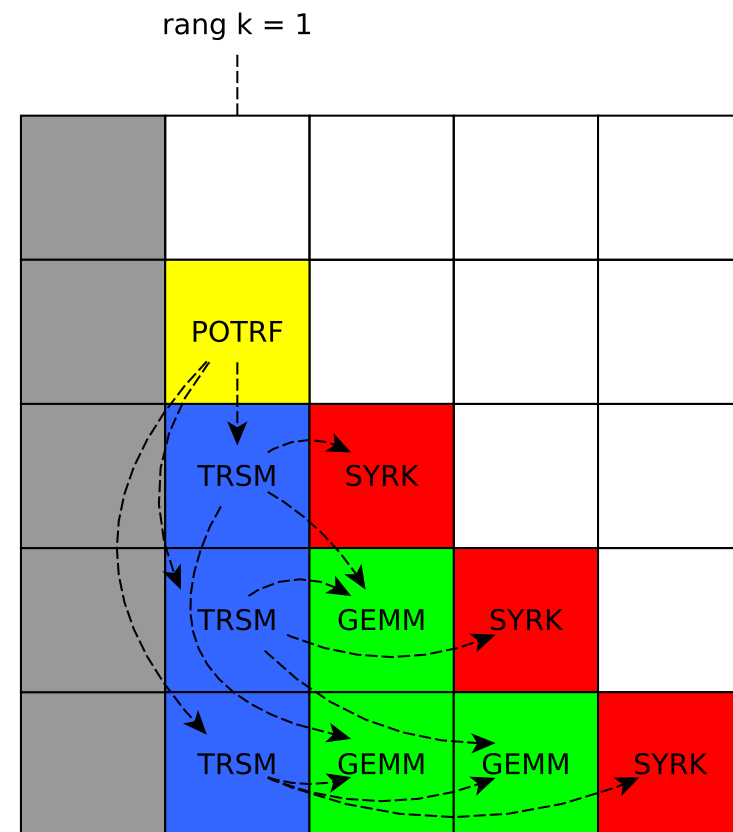
- Résolution de système d'équations en calcul scientifique

- Plusieurs algorithmes

- ici algorithme par bloc, « à la PLASMA »

- 4 noyaux principaux

- dpotrf
- trsm
- syrk
- dgemm



© P. Virouleau

OpenMP program

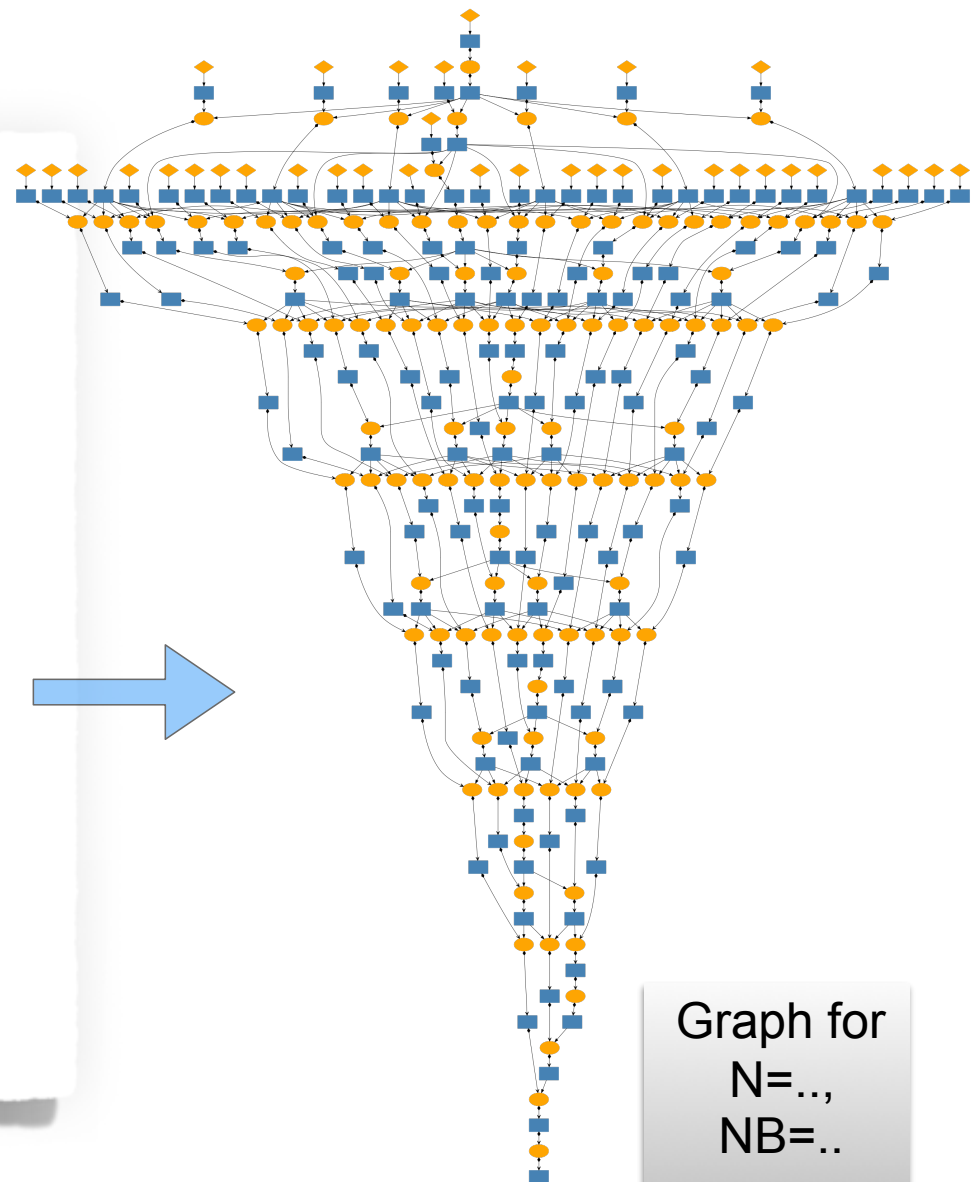
```
#include <cblas.h>
#include <clapack.h>

void Cholesky( int N, double A[N][N], size_t NB )
{
    for (size_t k=0; k < N; k += NB)
    {
        #pragma omp task depend(inout: A[k:NB][k:NB]) shared(A)
        clapack_dpotrf( CblasRowMajor, CblasLower, NB, &A[k*N+k], N );

        for (size_t m=k+ NB; m < N; m += NB)
        {
            #pragma omp task depend(in: A[k:NB][k:NB]) \
                depend(inout: A[m:NB][k:NB]) shared(A)
            cblas_dtrsm ( CblasRowMajor, CblasLeft, CblasLower, CblasNoTrans, CblasUnit,
                          NB, NB, 1., &A[k*N+k], N, &A[m*N+k], N );
        }

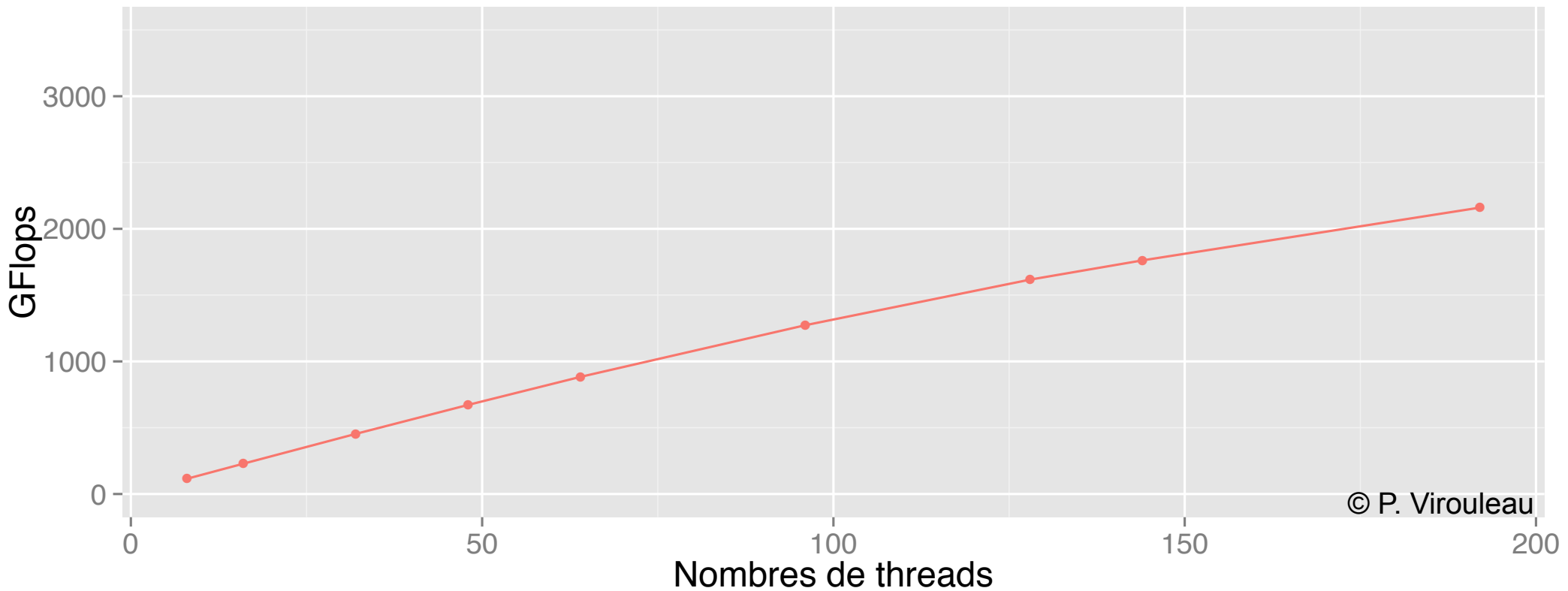
        for (size_t m=k+ NB; m < N; m += NB)
        {
            #pragma omp task depend(in: A[m:NB][k:NB]) \
                depend(inout: A[m:NB][m:NB]) shared(A)
            cblas_dsyrk ( CblasRowMajor, CblasLower, CblasNoTrans,
                          NB, NB, -1.0, &A[m*N+k], N, 1.0, &A[m*N+m], N );

            for (size_t n=k+NB; n < m; n += NB)
            {
                #pragma omp task depend(in: A[m:NB][k:NB], A[n:NB][k:NB])\
                    depend(inout: A[m:NB][n:NB]) shared(A)
                cblas_dgemm ( CblasRowMajor, CblasNoTrans, CblasTrans,
                              NB, NB, NB, -1.0, &A[m*N+k], N, &A[n*N+k], N, 1.0, &A[m*N+n], N );
            }
        }
    }
    #pragma omp taskwait
}
```



Performances ?

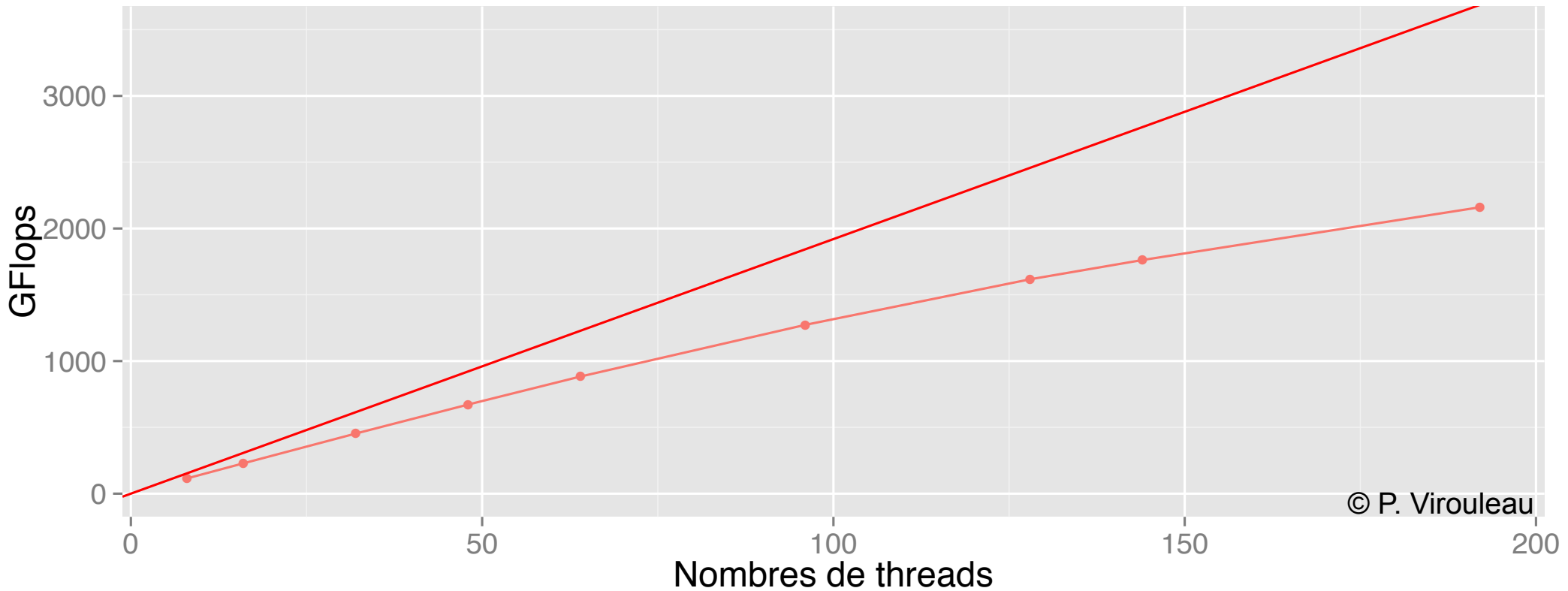
- idchire, UV3000, 192 cores, 24 bancs NUMA
- Matrice N=32768, BS=512, OpenBLAS
- GCC 6.3



© P. Virouleau

Performances ?

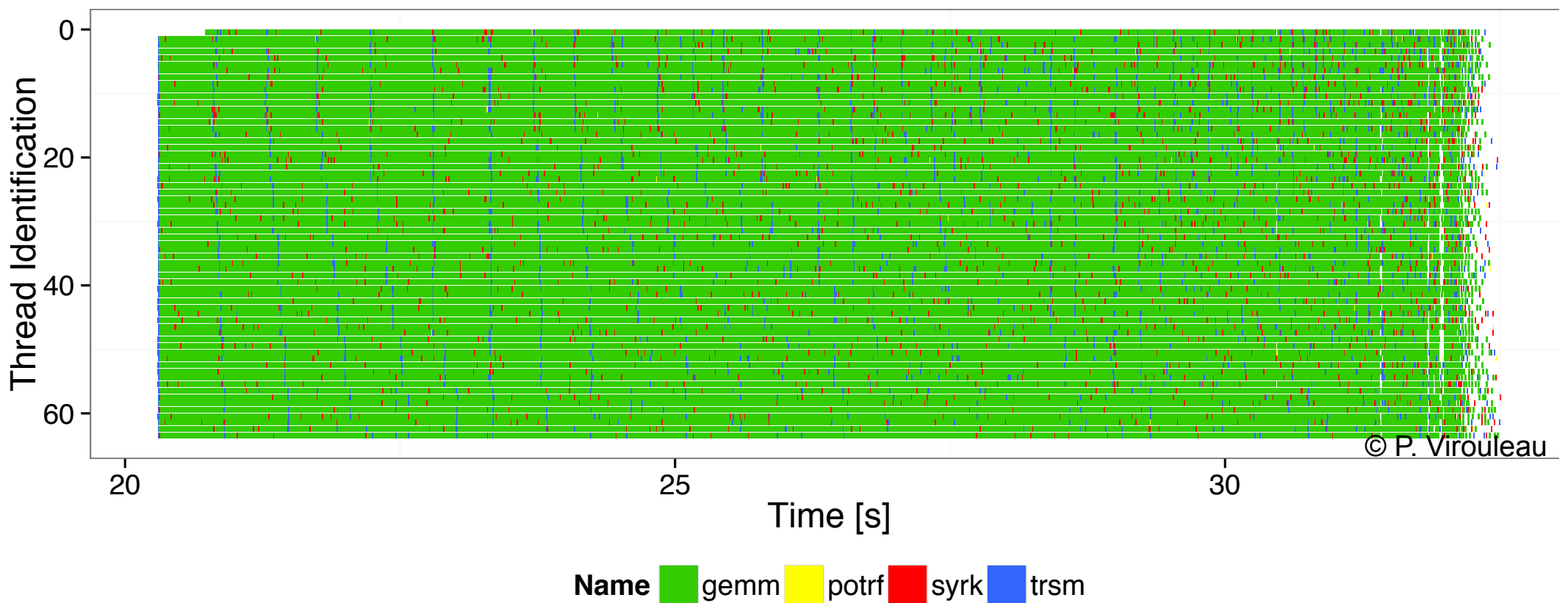
- idchire, UV3000, 192 cores, 24 bancs NUMA
- Matrice N=32768, BS=512, OpenBLAS
- GCC 6.3



© P. Virouleau

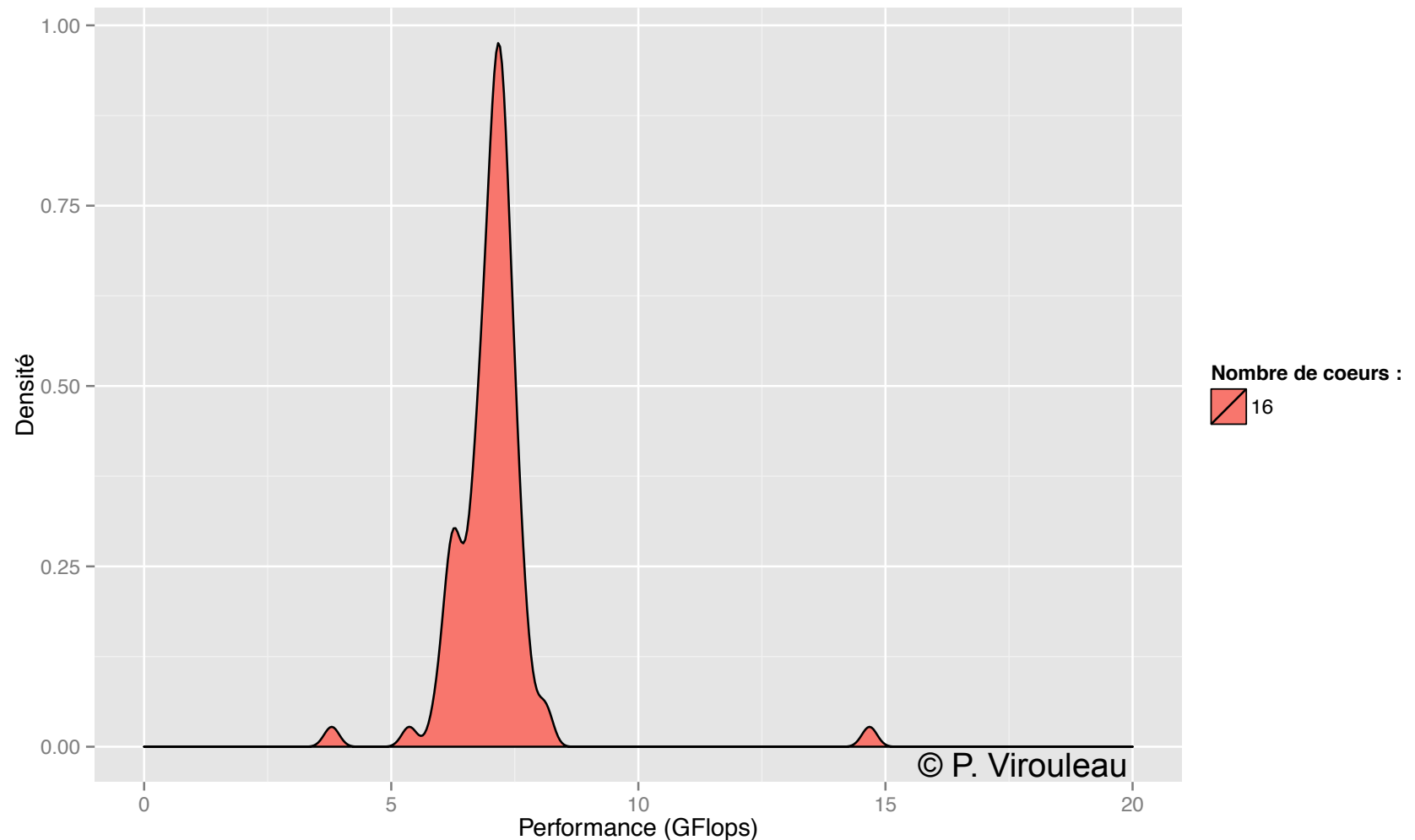
Gantt

- idchire, UV3000, 192 cores, 24 bancs NUMA
- Matrice N=32768, BS=512, OpenBLAS
- GCC 6.3
- 64 cores



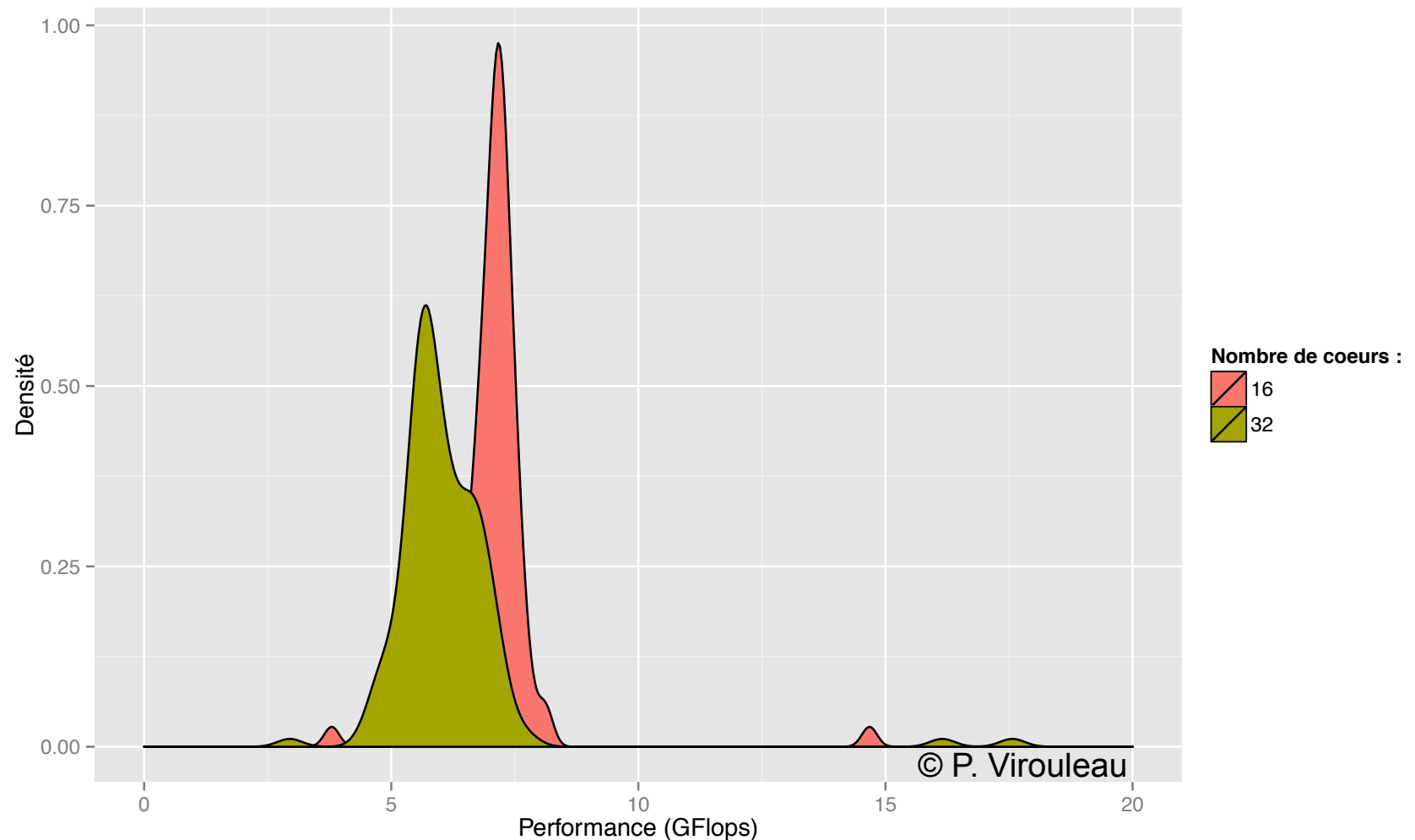
Distribution des performances

- idchire, UV3000, 192 cores, 24 bancs NUMA
- Matrice N=32768, BS=512, OpenBLAS
- Distribution des performances des kernels ‘DPOTRF’



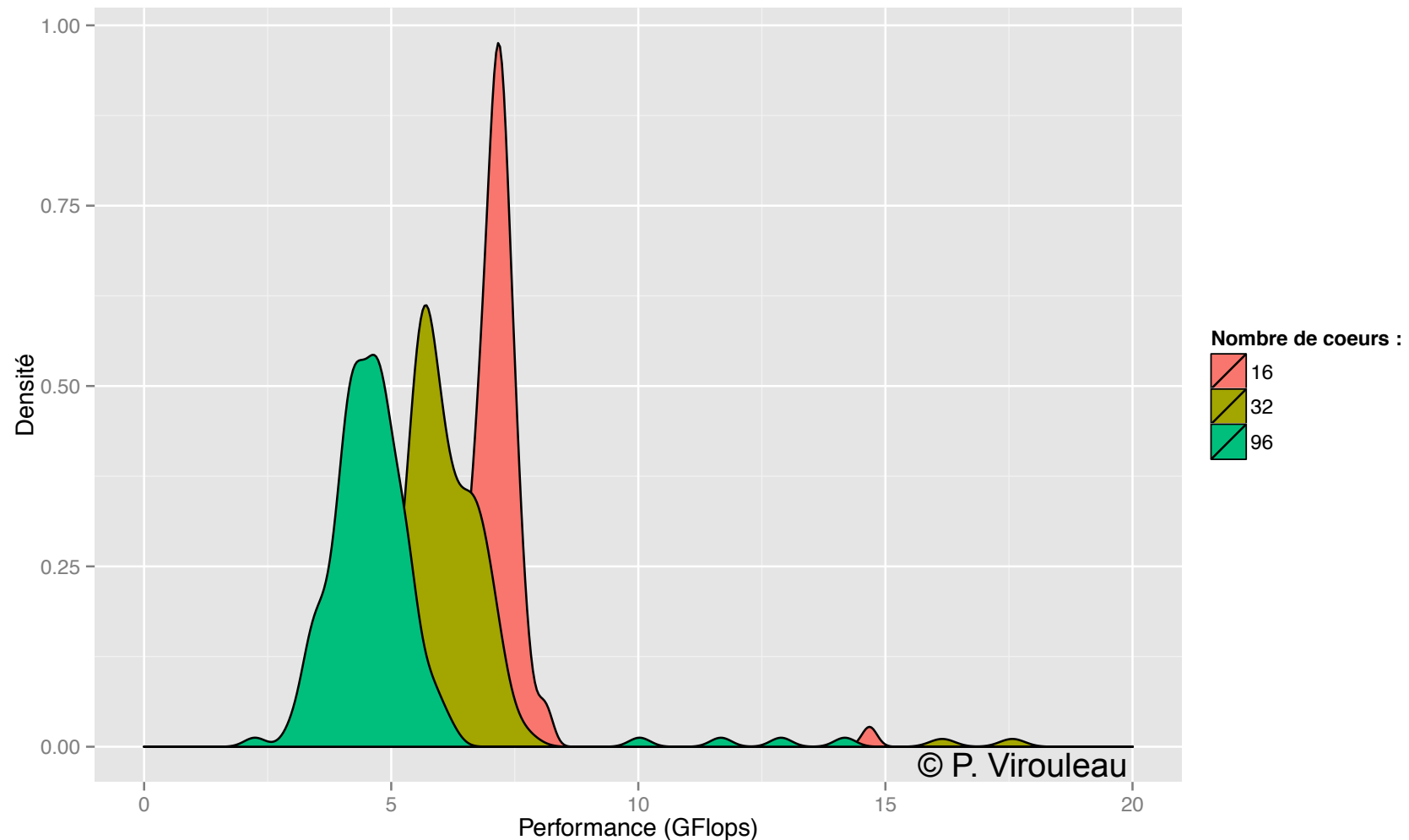
Distribution des performances

- idchire, UV3000, 192 cores, 24 bancs NUMA
- Matrice N=32768, BS=512, OpenBLAS
- Distribution des performances des kernels ‘DPOTRF’



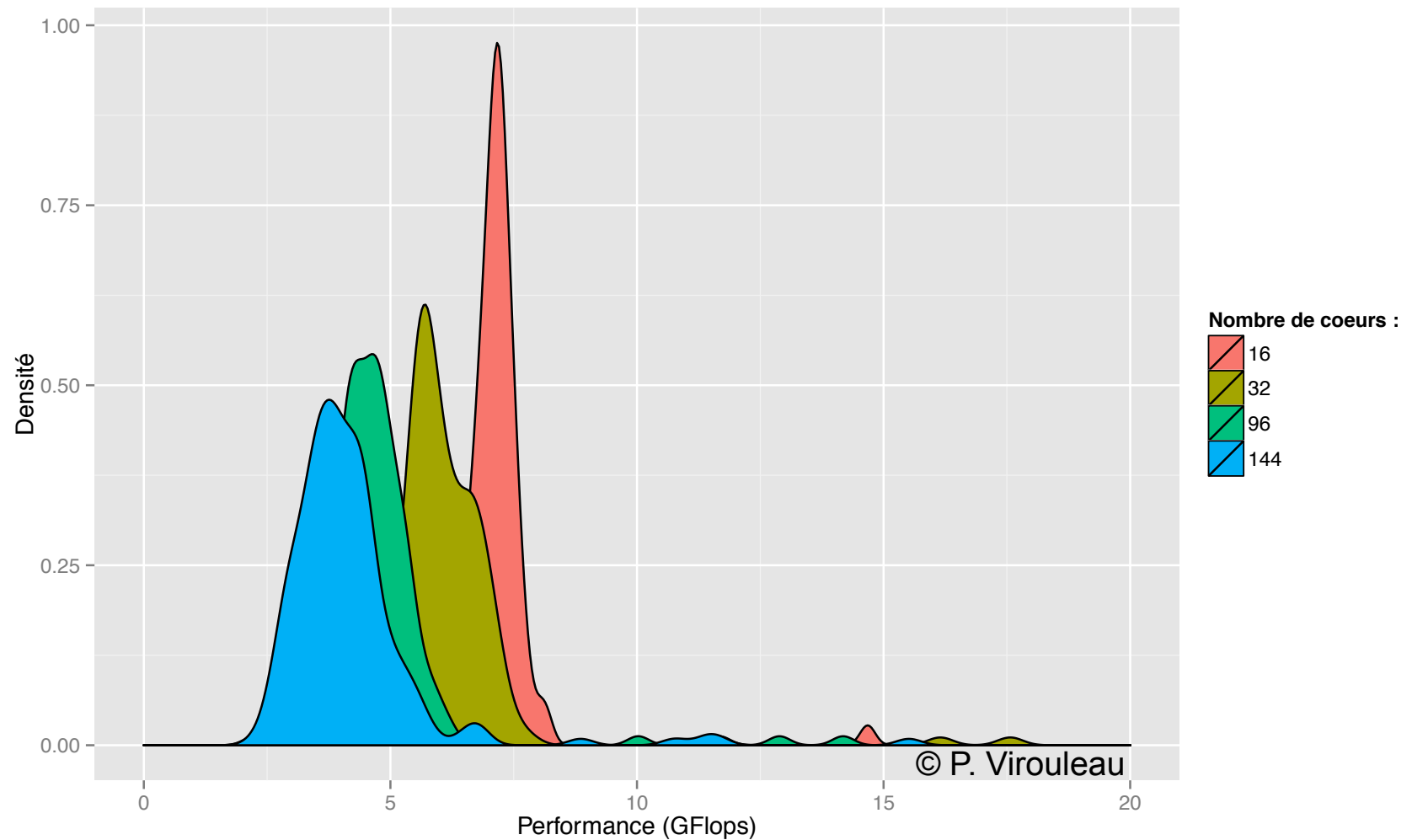
Distribution des performances

- idchire, UV3000, 192 cores, 24 bancs NUMA
- Matrice N=32768, BS=512, OpenBLAS
- Distribution des performances des kernels ‘DPOTRF’



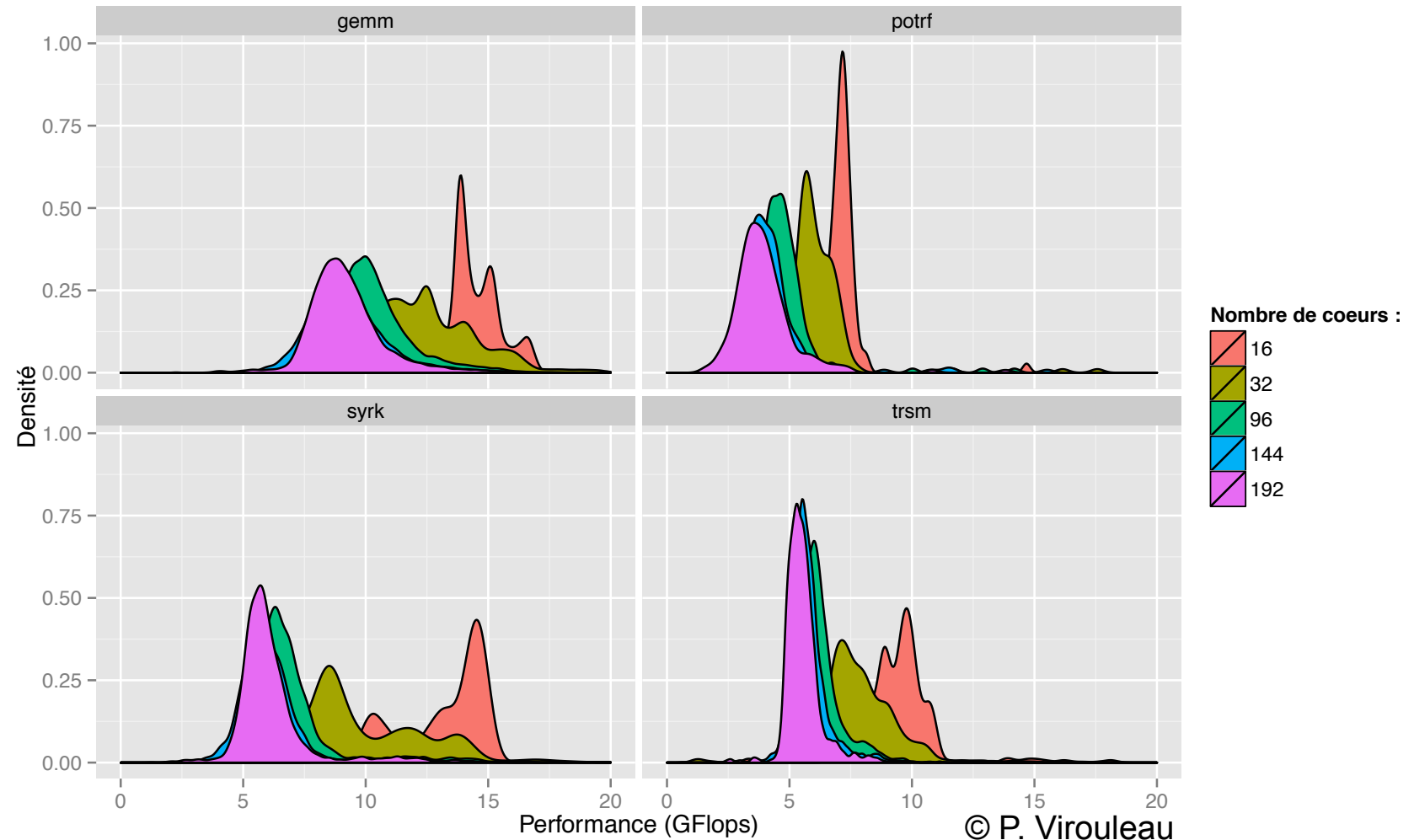
Distribution des performances

- idchire, UV3000, 192 cores, 24 bancs NUMA
- Matrice N=32768, BS=512, OpenBLAS
- Distribution des performances des kernels ‘DPOTRF’



Distribution des performances

- idchire, UV3000, 192 cores, 24 bancs NUMA
- Matrice N=32768, BS=512, OpenBLAS
- Tous les kernels



Explication : *work inflation*

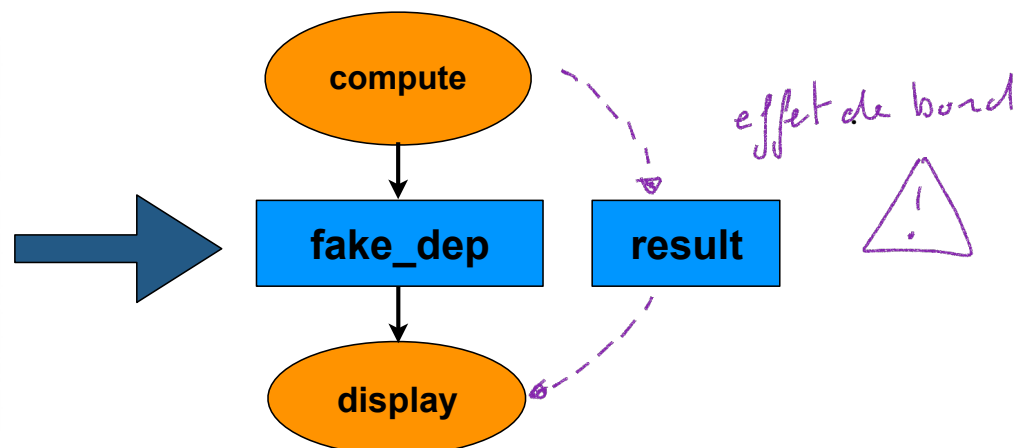
- **idchire, UV3000, 192 cores, 24 bancs NUMA**
- **Coût des calculs dépendant de :**
 - localisation des données
 - charges des liens mémoires induits par l'activités de tous les cœurs actifs
- **Réduire le « work inflation »**
 - une bonne distribution des données
 - des accès plus locaux

Amélioration de la gestion de la localité

- Objectif: contrôler le placement des tâches / localisations des données
- OpenMP
 - description des dépendances entre tâches ≠ description des accès mémoires

```
void main()
{
    #pragma omp parallel
    #pragma omp master
    {
        int fake_dep;
        #pragma omp task depend(out: fake_dep)
        compute( size, result );

        #pragma omp task depend(in: fake_dep)
        display( size, result );
    }
}
```



- Ajout d'une clause affinité

```
...
int fake_dep;
#pragma omp task depend(out: fake_dep) \
    affinity(data: result)
compute( size, result );

#pragma omp task depend(in: fake_dep) \
    affinity(data: result)
display( size, result );
...
```

Types d'affinité considérés

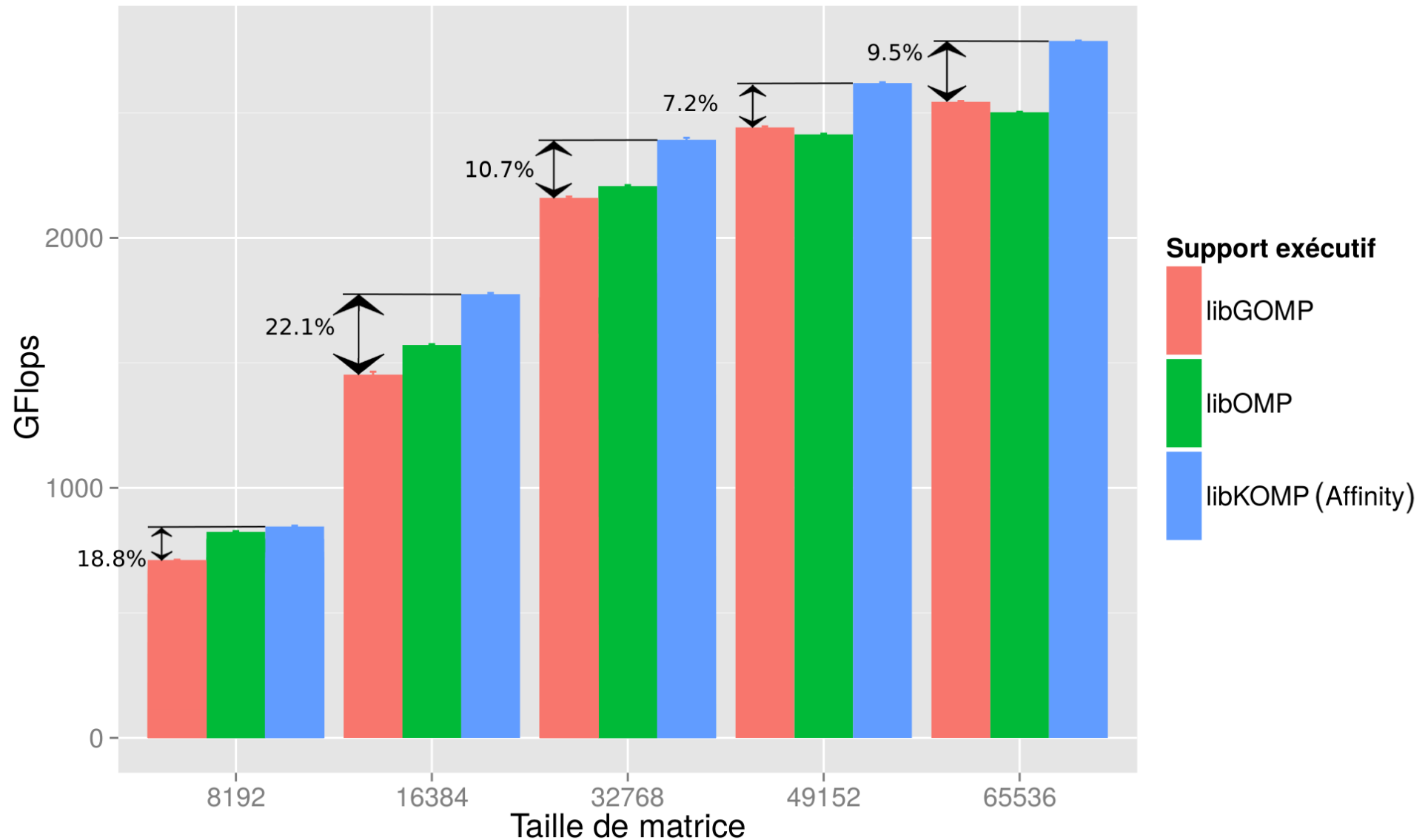
```
#pragma omp task affinity( [data | thread | node | data]: <expr> [, strict])  
<structured block>
```

	expr
data	adresse mémoire
thread	indice du thread dans la région parallèle
node	indice du i-ème nœud NUMA utilisé par les threads de la région parallèle

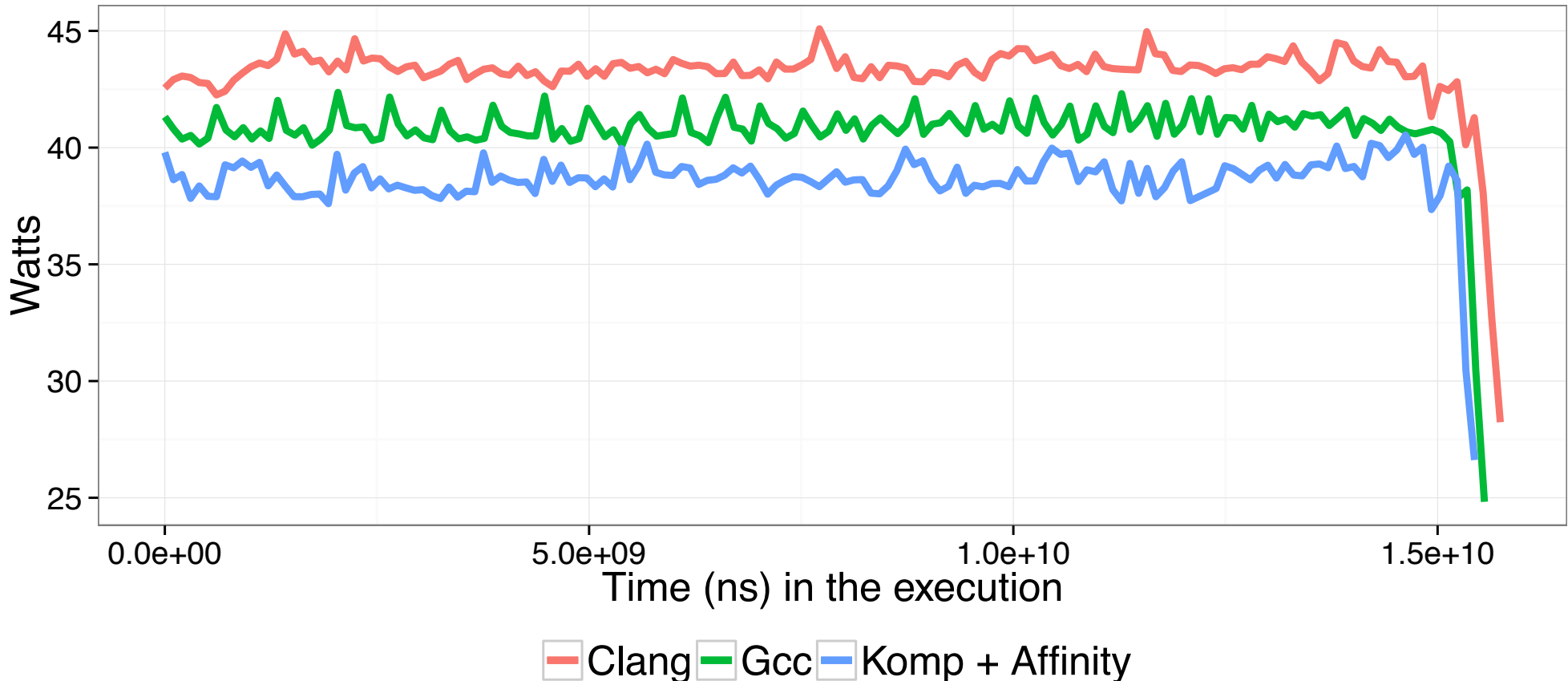
Implémentation

- **Intégration dans XKaapi (v0)**
 - validation de l'approche
- **Intégration dans le runtime LLVM OpenMP : libKOMP**
 - définition des structures de queues hiérarchiques
 - ajout d'une queue de tâches prêtes par nœud NUMA
- **Très simple car ordonnancement = vol de travail**
 - détournement de la fonction qui pousse sur la bonne queue une tâche activée
 - si contrainte d'affinité : calcul du nœud NUMA contenant la donnée et « enqueue »
 - sinon on pousse la tâche dans la queue locale
- **Moins simple**
 - évaluation et construction d'une bonne heuristique parmi les choix possibles
 - PhD P. Virouleau

Gain en performance (Cholesky)



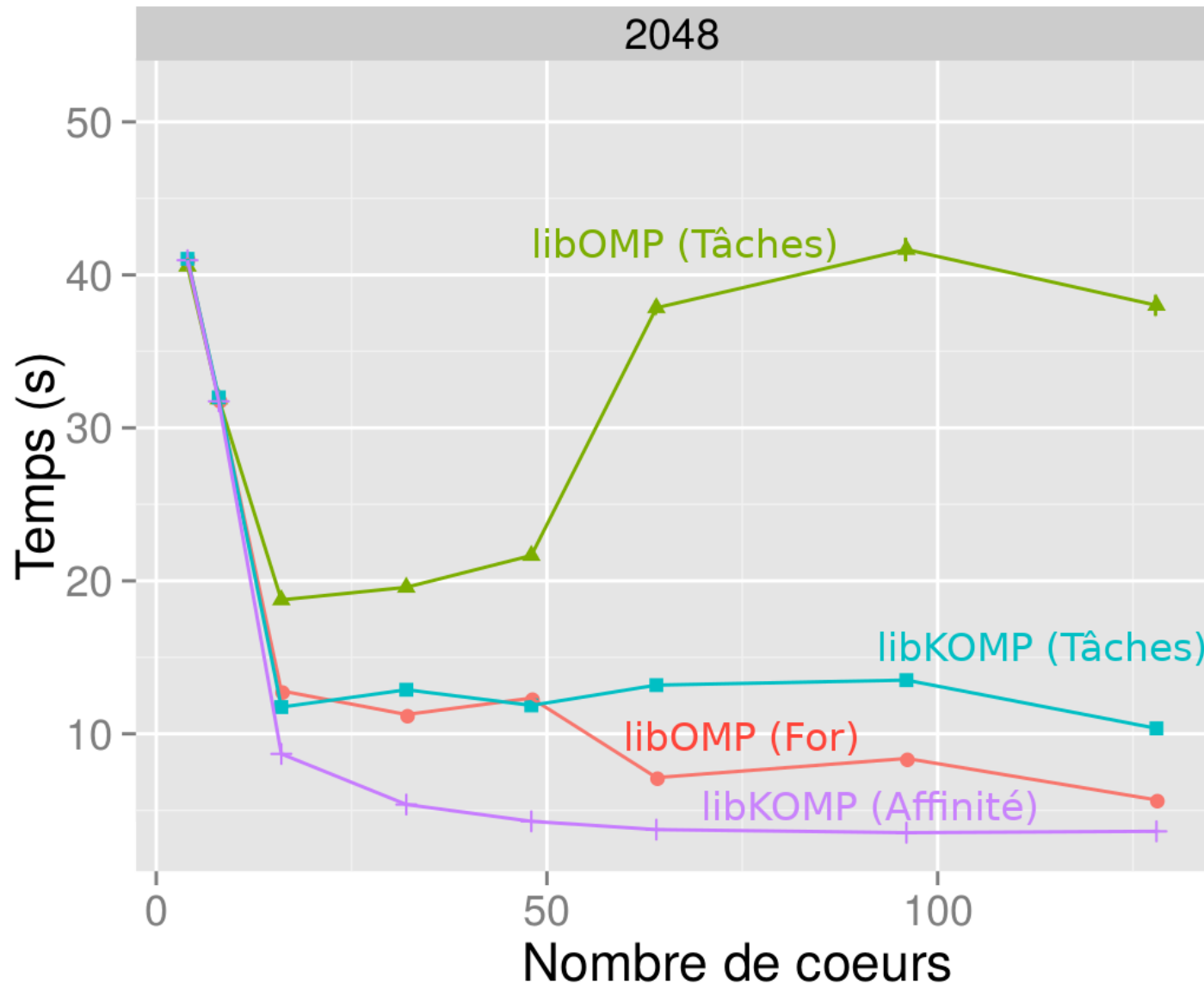
Impact sur l'énergie 'DRAM'



- ~ 10% de gain en énergie consommée par la DRAM

Gain sur des applications itérative

- 2D stencil, see Kastors benchmark suite <http://kastors.gforge.inria.fr>



Bilan

- **Programmation par tâche**

- souplesse car « separation of concerns »
 - programme = description d'un enchainement de tâches avec dépendances
 - scheduler = placement des tâches sur les ressources

- **Programmation sur architecture NUMA**

- vital : distribution des données
 - numactl
 - tâches + affinité

- **Extension OpenMP**

- présentée comme une *extension de clause* => extension du compilateur (CLANG)
- mais possible en tant qu'appel à des fonctions de runtime OpenMP (« omp.h »)
 - `omp_set_task_affinity(type, expr, strictness)`
 - portable avec ICC, GCC, CLANG, iFort et GFortran !

libKOMP : Runtime modifié

- Basé sur le runtime LLVM OpenMP, fork du runtime d'Intel
- libKOMP: <https://gitlab.inria.fr/openmp/libkomp>
 - T.H.E Queue à la Click
 - Protocole d'agrégation des requêtes de vol à la XKaapi
 - Optimisation pour la gestion des dépendances
 - hash table dynamiquement adaptable
 - gestion de l'affinité
 - Extension: affinité, écriture concurrente
 - module OMPT de capture de la trace d'exécution
 - enregistrement des événements OpenMP (début-fin de tâche, ...)
 - enregistrement de compteurs de performance PAPI
 - R comme language de script pour le traitement et l'affichage

Questions ?

- Pause ?

Kaapi

**Un modèle de calcul sur multi-GPUs et multi-CPUs
Travail effectué avec J. Lima, UFSM, Brazil**

Réalisation de la boucle vertueuse

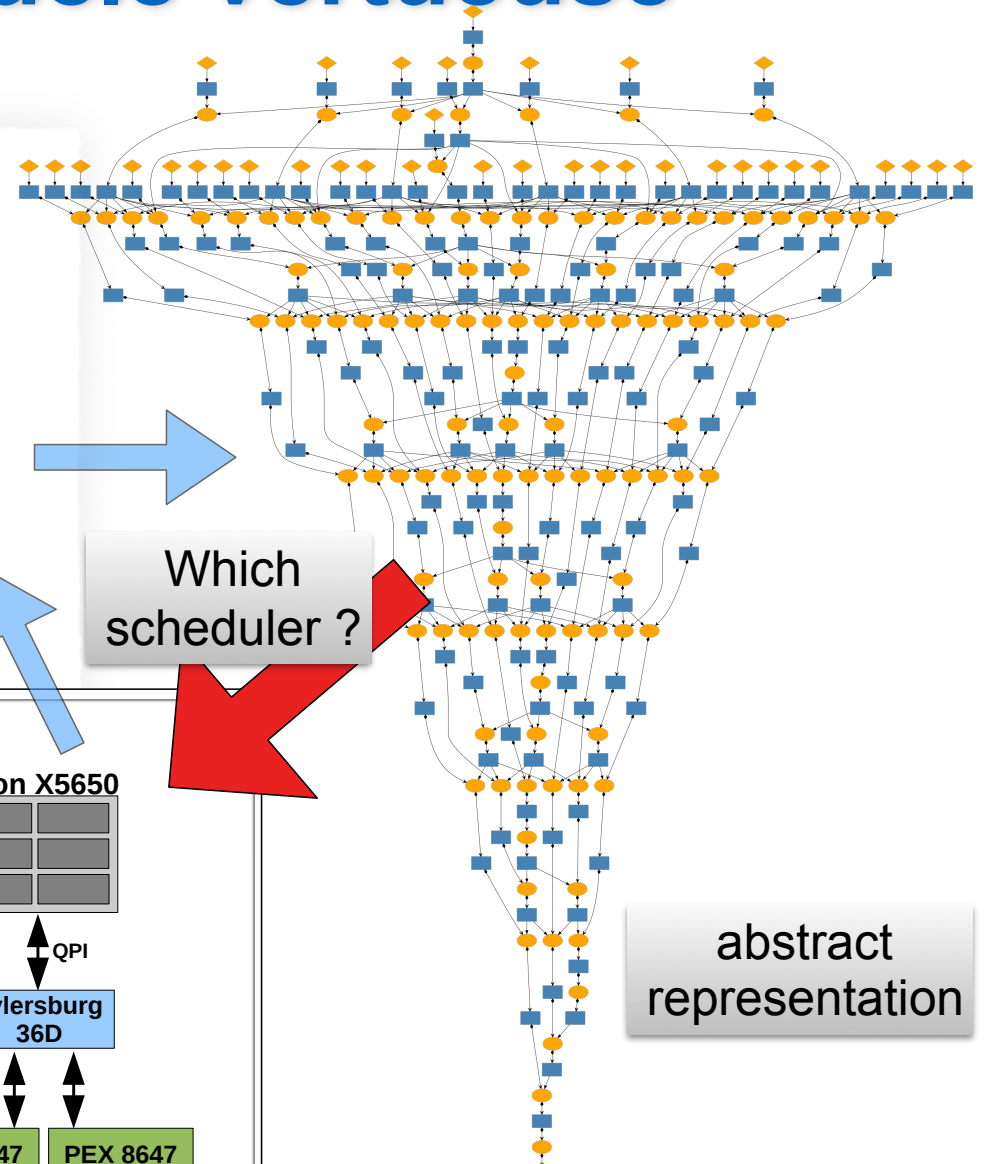
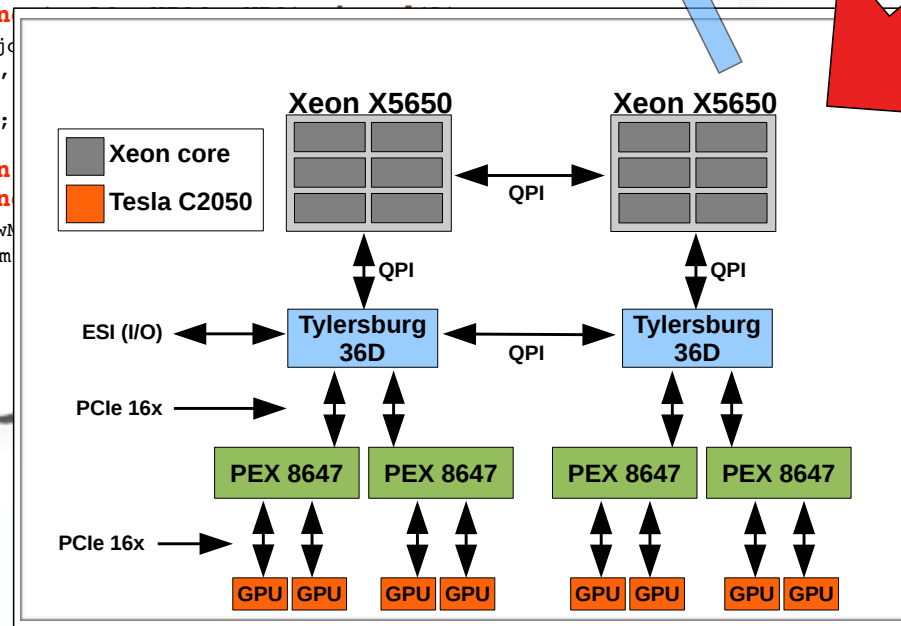
```
#include <cbblas.h>
#include <clapack.h>

void Cholesky( int N, double A[N][N], size_t NB,
{
    for (size_t k=0; k < N; k += NB)
    {
        #pragma omp task depend(inout: A[k:NB][k:NB]) shared(A)
            clapack_dpotrf( CblasRowMajor, CblasLower, NB, &A[k*N+k], N );

        for (size_t m=k+ NB; m < N; m += NB)
        {
            #pragma omp task depend(in: A[k:NB][k:NB]) \
                depend(inout: A[m:NB][k:NB]) shared(A)
                cblas_dtrsm ( CblasRowMajor, CblasLeft, CblasLower, CblasNoTrans, CblasUnit,
                    NB, NB, 1., &A[k*N+k], N, &A[m*N+k], N );
        }

        for (size_t m=k+ NB; m < N; m += NB)
        {
            #pragma omp task depend(in: A[m:NB][k:NB]) \
                depend(in
                cblas_dsyrk ( CblasRowMajor
                    NB, NB, -1.0, &A[m*N+k],
                    for (size_t n=k+NB; n < m;
                    {
                        #pragma omp task depend(in
                            depend(in
                                cblas_dgemm ( CblasRowMajor
                                    NB, NB, NB, -1.0, &A[m*N+k],
                                    }
                                }
                            }
                        }
                    }
                }
            }
        }
    }
    #pragma omp taskwait
}
```

Application:
how to program it ?



Which
scheduler ?

abstract
representation

Objectif

- **Représentation de l'exécution = graphe de flot de données**
 - graphe orienté bi-parti, nœuds « tâche » et nœuds « donnée »
- **Scheduler du graphe de tâches**
 - choix en cours d'exécution des ressources utilisées
 - meilleure adaptation de la charge de calcul en cours d'exécution
 - une même tâche doit avoir plusieurs implémentations CPU ouGPU
- **Comment écrire un tel programme ?**
 - [question posée en 2008]: OpenMP ? Non car pas de dépendances entre tâche
 - en 2018 ? OpenMP : non car pas possible d'avoir facilement plusieurs implémentation par tâches + effet de bord non décrit. Extension des targets envisageable.
 - Kaapi [Europar 2010, IPDPS 2013, PARCO 2015]

Création de tâche en KAAPI

- **3 concepts fondamentaux**

- Mode d'accès : lecture (R), écriture (W), écriture concorrente (CW), postponed (P)
- Signature d'une tâche ~ prototype + modes accès aux paramètres formels
- Implémentation d'une tâche : CPU ou GPU (non exclusif)
 - hypothèse pour la portabilité : il existe toujours une implémentation valide

- **Tâche**

- pas d'effet de bord
- description des accès à la mémoire par les *modes d'accès*

- **Création de tâche == spawn (à la Cilk !)**

- opération non bloquante

- **Exemple**

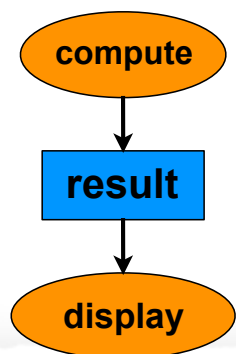
```
void main()
{
    /* data result is produced */
    compute( size, result );

    /* data result is consumed */
    display( size, result );
}
```



```
void main()
{
    ...
    ka::Spawn<TaskCompute>()( size, &result );

    ka::Spawn<TaskDisplay>()( size, &result );
    ka::Sync()
}
```



If you know...

		Kaapi equiv.
OpenMP	#pragma omp task F(arg)	ka::Spawn<F>()(arg) + déclaration de F
	#pragma omp task depend(...) F(arg)	ka::Spawn<F>()(arg) + déclaration de F
	#pragma omp taskwait	ka::Sync() Mais sémantique + forte
Cilk	cilk_spawn F(arg)	ka::Spawn<F>()(arg)
	cilk_sync	ka::Sync()

Définition des tâches

```
#include <kaapi++h>
```

Signatures

```
struct TaskCompute : public ka::Task<2>::Signature<
    int,                                /* size */
    ka::W<ka::array<1,int> > /* result W == WRITE*/
> {};
```



```
struct TaskDisplay : public ka::Task<2>::Signature<
    int,                                /* size */
    ka::R<ka::array<1,int> > /* R == READ access to result */
> {};
```

```
template<>
struct TaskBodyCPU<TaskCompute> {
    void operator() ( int size, ka::pointer_w<ka::array<1,double> > result )
{
    int i;
    for (i=0; i<size; ++i)
        result[i] = (double)(i*i);
}
};
```

```
template<>
struct TaskBodyCPU<TaskDisplay> {
    void operator() ( int size, ka::pointer_r<ka::array<1,double> > result )
{
    int i;
    printf("Result is:");
    for (i=0; i<size; ++i)
        printf(" %f", result[i]);
    printf("\n");
}
};
```

Implémentation CPU

Définition des tâches

Implémentation GPU

```
template<>
struct TaskBodyGPU<TaskCompute> {
    void operator() ( ka::gpuStream stream,
                      int size, ka::pointer_w<ka::array<1,double> > result )
{
    float* const d_R = result->ptr();
    dim3 threads(...);
    dim3 grid(...);
    squareKernel<<<grid, threads, 0, stream>>>(size, d_R);
}
```

Restriction

- Soit e un paramètre effectif passé par référence == ka::pointer_XX
- Soit f un paramètre formel de type ka::pointer_YY
- Seuls les cas suivants sont autorisés

<i>formal effective</i>	pointer_r	pointer_rw	pointer_w	pointer_cw
pointer	yes	yes	yes	yes
pointer_r	yes	no	no	no
pointer_rw	no	no	no	no
pointer_w	no	no	no	no
pointer_cw	no	no	no	yes

Pourquoi ?

- **Conserver une sémantique lexicographique**
 - identification des écrivains des valeurs lues
- **Déterminisme**
 - Une donnée lue par une tâche ne sera jamais modifier par une tâche fille
- **Ordonnancement non préemptif des tâches**
 - une tâche ne s'arrêtera jamais en cours d'exécution pour attendre la production d'un paramètre

+ mode postponed

<i>formal effective</i>	pointer_r	pointer_rp	pointer_rw	pointer_rpwp	pointer_w	pointer_wp
pointer	yes	yes	yes	yes	yes	yes
pointer_r	yes	yes	no	no	no	no
pointer_rp	yes	yes	no	no	no	no
pointer_rw	no	no	no	no	no	no
pointer_rpwp	yes	yes	yes	yes	yes	yes
pointer_w	no	no	no	no	no	no
pointer_wp	no	no	no	no	yes	yes

Multi-GPUs Cholesky Factorisation

```
for(k= 0; k < N; k+= blocsize){  
    ka::Spawn<TaskPOTRF>()( A(rk,rk) );  
  
    for(m= k+blocsize; m < N; m+= blocsize)  
        ka::Spawn<TaskTRSM>()( A(rk,rk), A(rm,rk));  
  
    for(m= k+blocsize; m < N; m+= blocsize){  
        ka::Spawn<TaskSYRK>()( A(rm,rk), A(rm,rm));  
  
        for(n= k+blocsize; n < m; n+= blocsize)  
            ka::Spawn<TaskGEMM>()( A(rm,rk), A(rn,rk), A(rm,rn) );  
    }  
}
```

Multi-versions des tâches

```
struct TaskSYRK: public ka::Task<2>::Signature<  
    ka::R<ka::range2d<double> >,  
    ka::RW<ka::range2d<double> > >{};
```

Signature

```
template <>  
struct TaskBodyCPU<TaskSYRK>{  
    void operator( ka::range2d_r<double> A, ka::range2d_rw<double> C )  
    {  
        /* CPU implementation */  
        cblas_dsyrk( A->dim(0), A->dim(1), A->ptr(), A->ld(), C->ptr(), C->ld() );  
    }  
};
```

CPU Task

```
template <>  
struct TaskBodyGPU<TaskSYRK>{  
    void operator( kaapi_gpuStream stream,  
                  ka::range2d_r<double> A, ka::range2d_rw<double> C)  
    {  
        /* GPU implementation */  
        cublasDsyrk( kaapi_cublas_handle(stream),  
                      A->dim(0), A->dim(1), A->ptr(), A->ld(), C->ptr(), C->ld() );  
    }  
};
```

No explicit
synchronization!

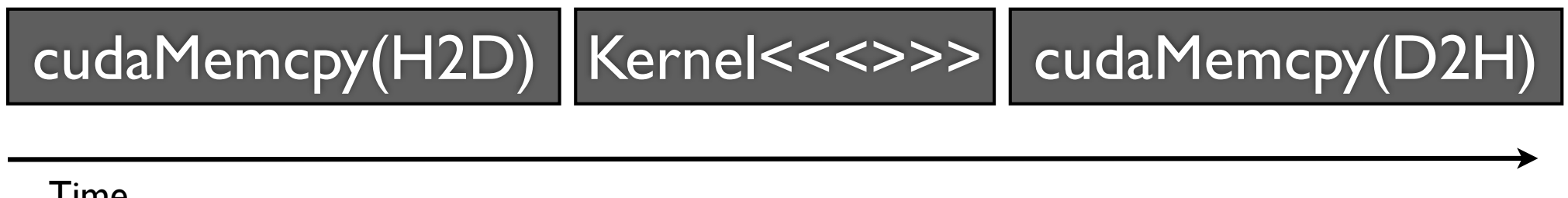
GPU Task

Exécution d'une tâche sur une ressource

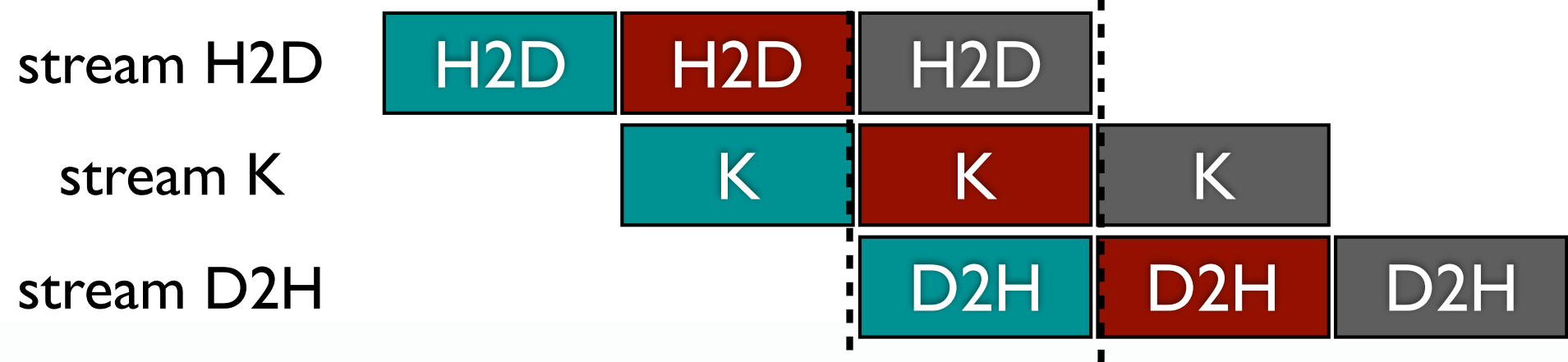
- **Le runtime NUMA gère**
 - les exécutions asynchrones
 - ordonnancement par vol de travail
- **Les extensions nécessaires pour le multi-GPUs**
 - gestion des communications des données entre les espaces mémoires
 - cache logiciel et gestion des réplicas
 - gestion de la concurrence des opérations vers un GPU
 - multi kernels, recouvrement calcul/communication

Opérations GPU concurrentes

Sequential



Parallel (from Fermi/Kepler GPUs)



Opérations GPU concurrentes

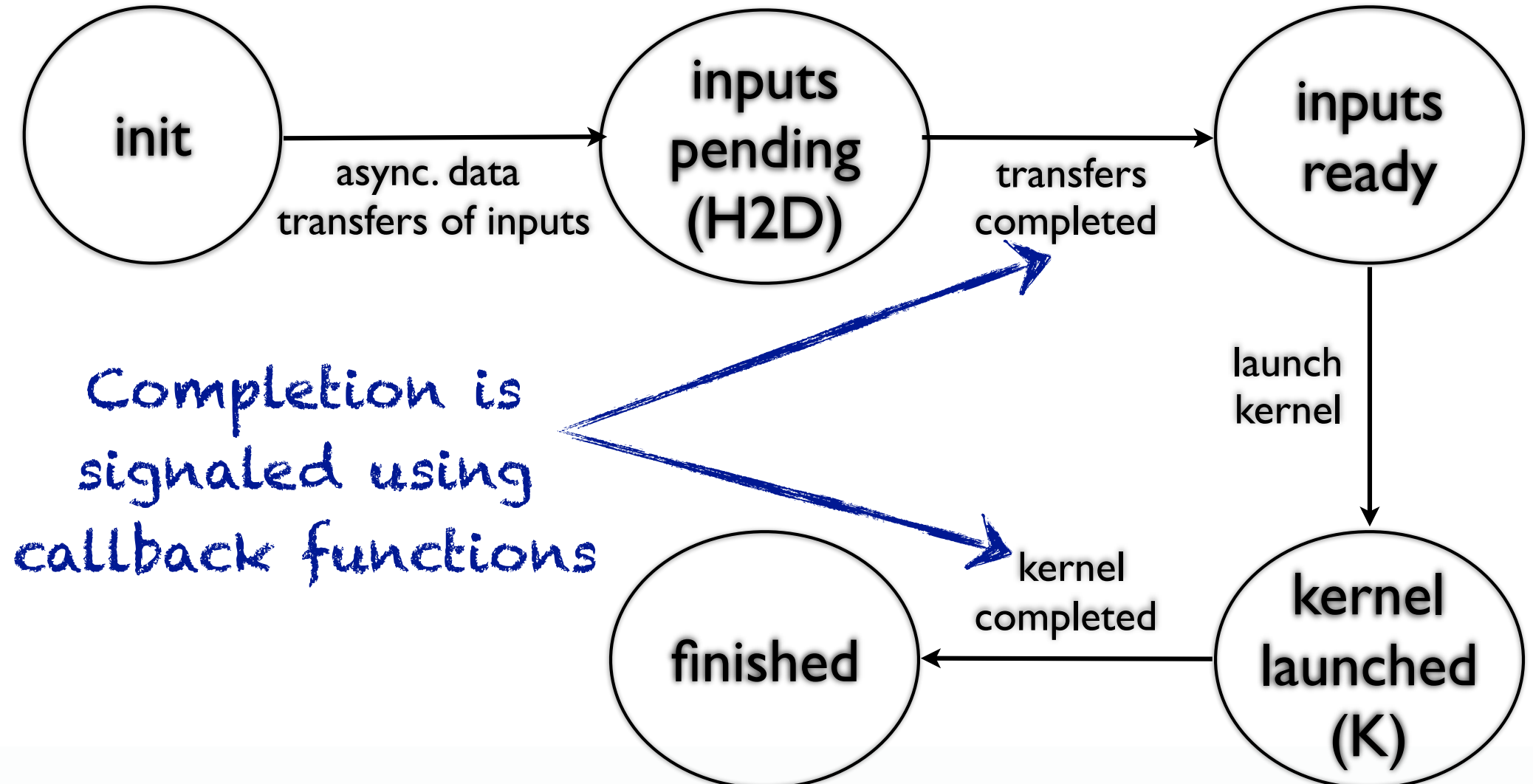
- **kstream**

- 3 streams CUDA streams avec seulement des opérations asynchrones
 - H2D == host to device transfers
 - K == kernel execution (implicitly launched by TaskBodyGPU)
 - D2H == device to host transfers
- Signalisation de la fin des opérations asynchrones par des fonctions callback

- **Intérêt = ne pas utiliser explicitement des synchronisations**

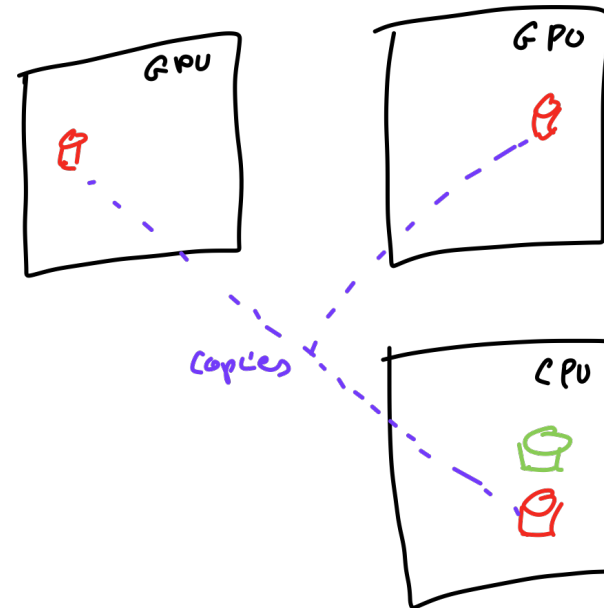
- `cudaDeviceSynchronize()`, `cudaStreamSynchronize()`, ...

Diagramme d'état des tâches GPU

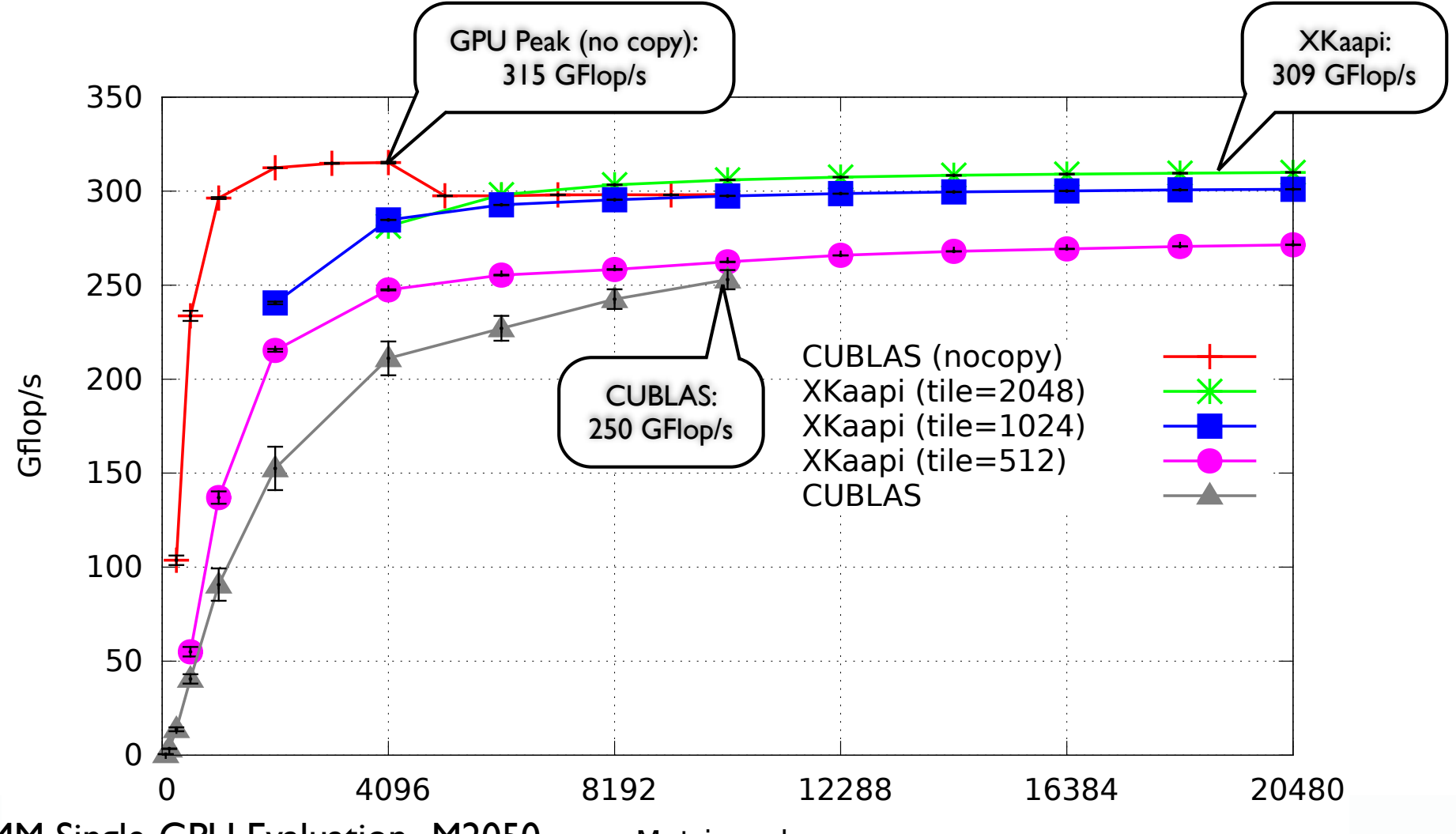


Cache logiciel

- Gestion des répliques entre les GPUs et la machine hôte
- Carte GPU ~ quelques GBytes, mémoire hôte ~ 32GBytes -> 1TBytes
- Politique de remplacement
 - 2 queues Least Recently Used (LRU)
 - R only : éviction en premier
 - RW or W : si nécessaire
- Cohérence = write-back policy
 - Lazy strategy
- Transferts non bloquant
 - gérés par les 'kstream'



Evaluation du Kstream sur un DGEMM



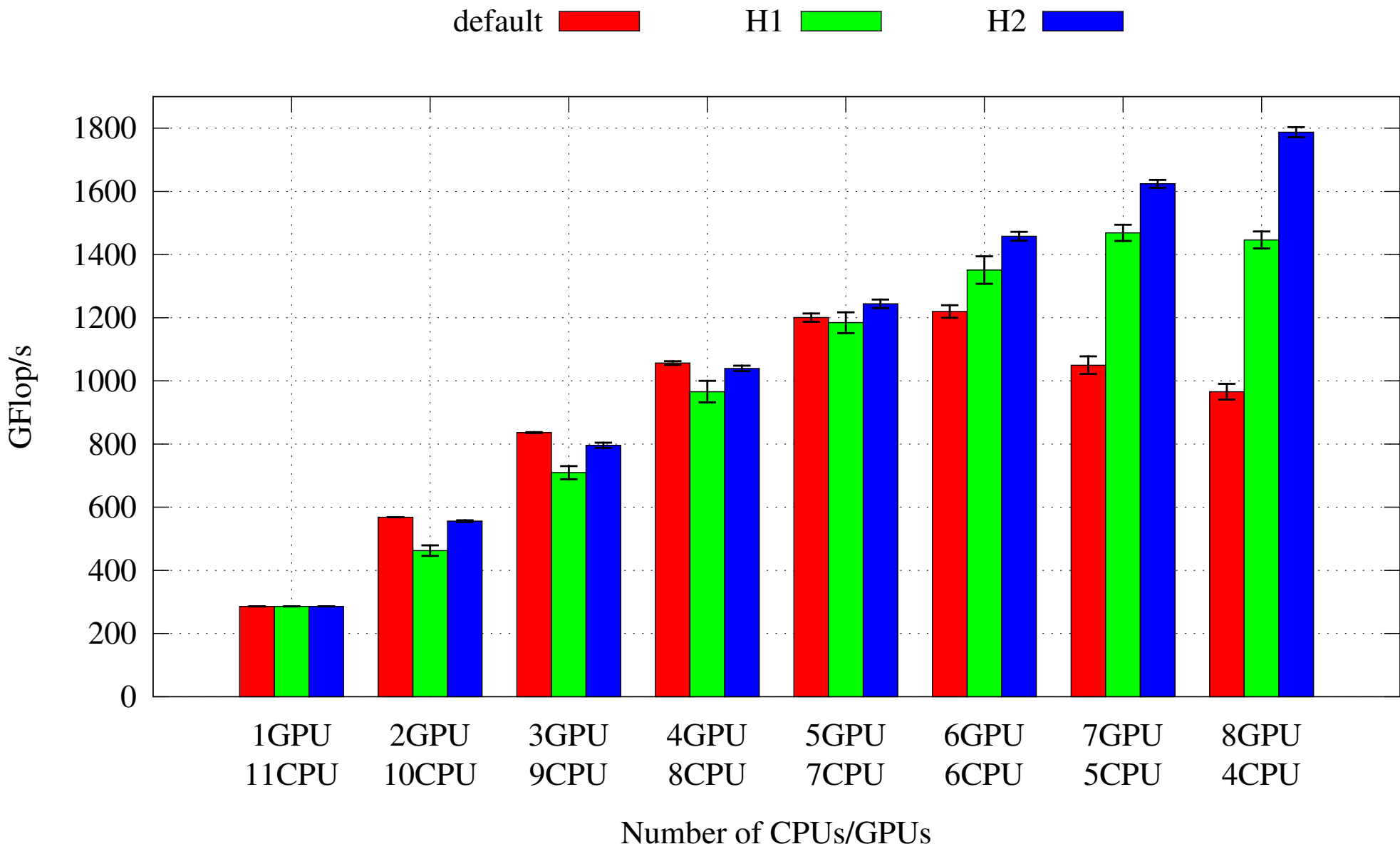
DGEMM Single-GPU Evaluation -M2050-
(Double Precision)

Matrix order

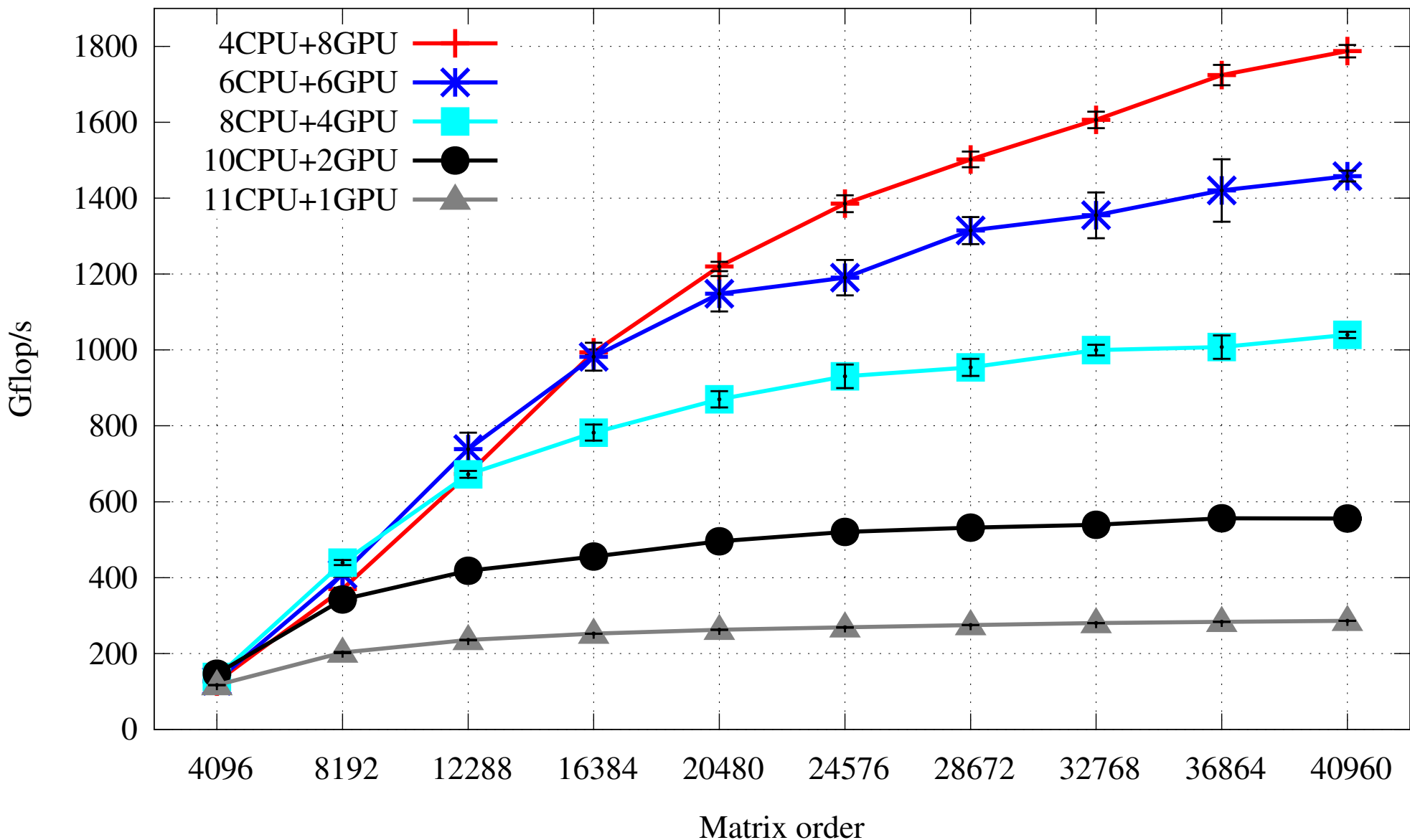
Heuristiques de vol de travail

- **1 thread par ressource CPU ou GPU**
 - 1 queue par ressource pour stocker les tâches prêtes
- **default :**
 - pas de gestion d'affinité données / tâches / ressources
- **H1: GPU + gestion de l'affinité « en volume »**
 - lorsqu'une tâche est prête elle est poussée sur la ressource qui stocke le plus de ses données (en volume)
- **H2: GPU + gestion de l'affinité « OCR »**
 - lorsqu'une tâche est prête elle est poussée sur la ressource qui stocke l'une de ses données en écriture
 - OCR = Owner Compute Rule

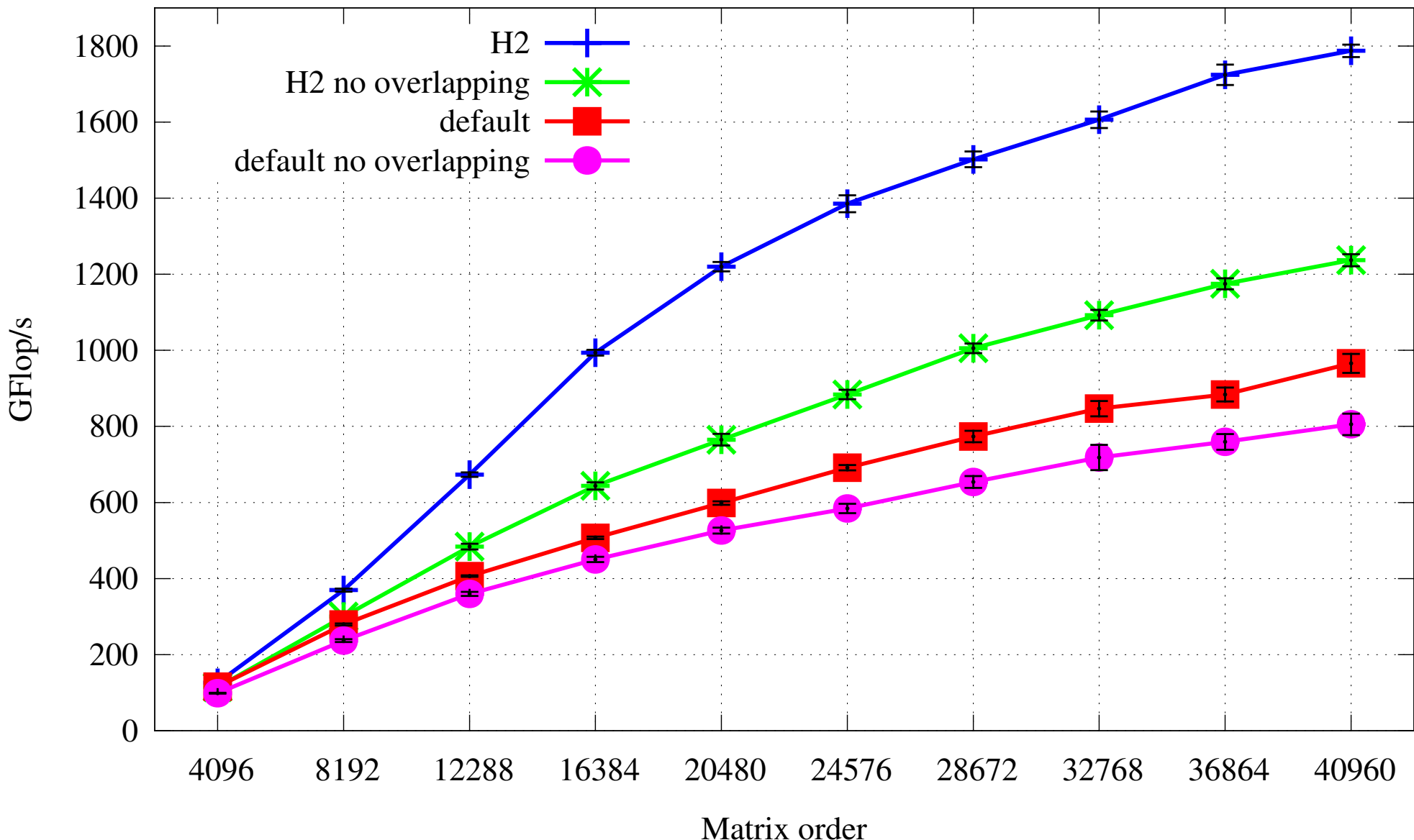
Speedup Cholesky N=40960



Speedup



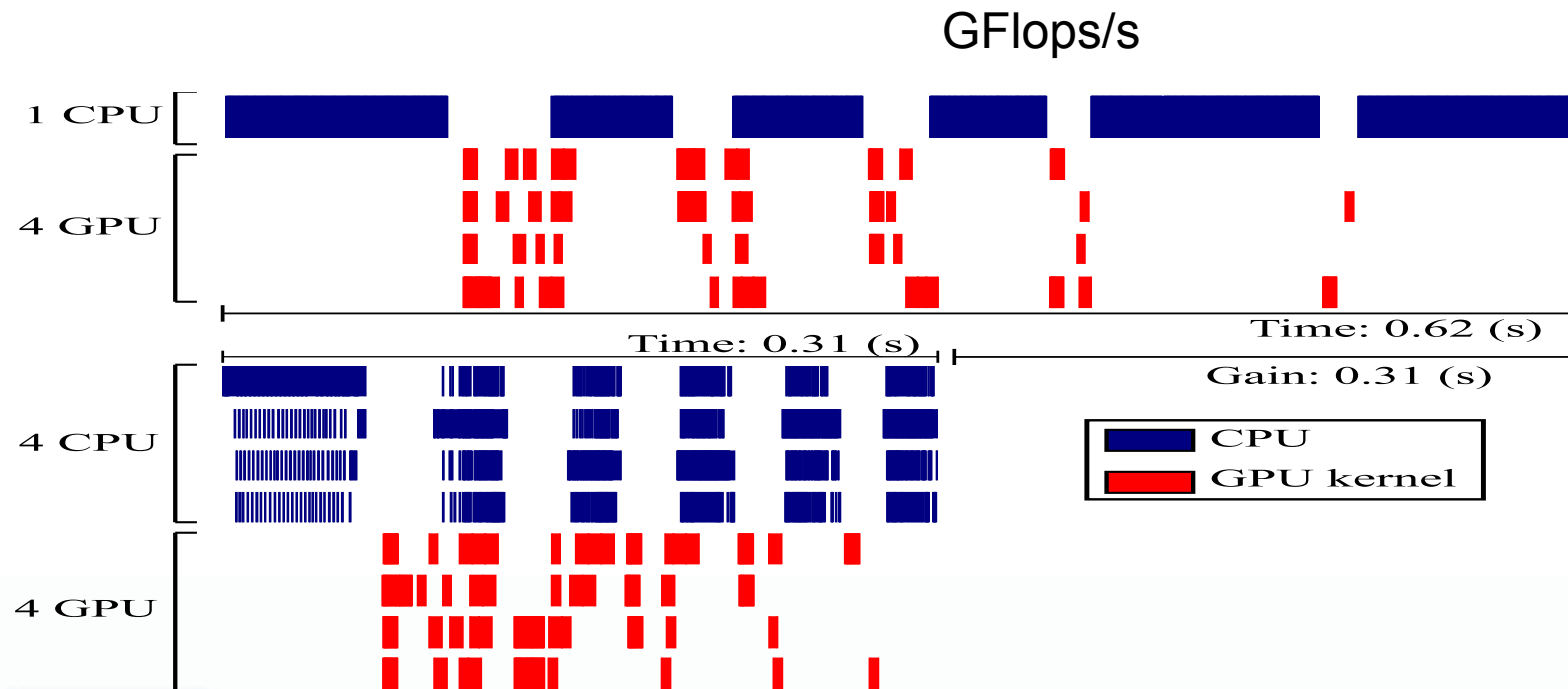
Stratégies / Overlapping



Réduction du chemin critique

- DPOTRF. Parallel panel factorization on x-CPUs, 4 GPUs, N=40960, BS=1024

#CPU	Matrix dimension				
	4096	8192	16384	32768	40960
1	53.85 ±0.98	206.38 ±2.70	622.55 ±7.90	962.21 ±31.77	1052.58 ±20.53
4	115.16 ±1.02	391.05 ±2.64	755.91 ±6.89	1013.65 ±7.81	1022.45 ±37.55
8	138.34 ±1.06	439.70 ±3.38	782.21 ±10.51	999.46 ±6.90	1045.53 ±4.19



Bilan

- **Exploitation des architectures hybrides de manière « oblivious »**
 - un modèle de programmation par tâches avec dépendances
 - contraintes, tâche récursive
 - pas de modèle de performance de l'architecture
 - pas de modèle de performance de l'application
 - scabilité jusqu'à 8 GPUs !
- **A la place**
 - une gestion fine de l'overlapping
 - une gestion spécifique du cache logiciel
 - un vol de travail avec heuristique de gestion de l'affinité tâche/donnée/ressource
 - similaire entre les versions NUMA et Multi-GPUs
- **Codage moins simple qu'en OpenMP**
 - **ADT INRIA K'STAR [MOAIS, RUNTIME] 2013-2015**
 - définition d'un compilateur basé sur CLANG OpenMP vers Kaapi et StarPU

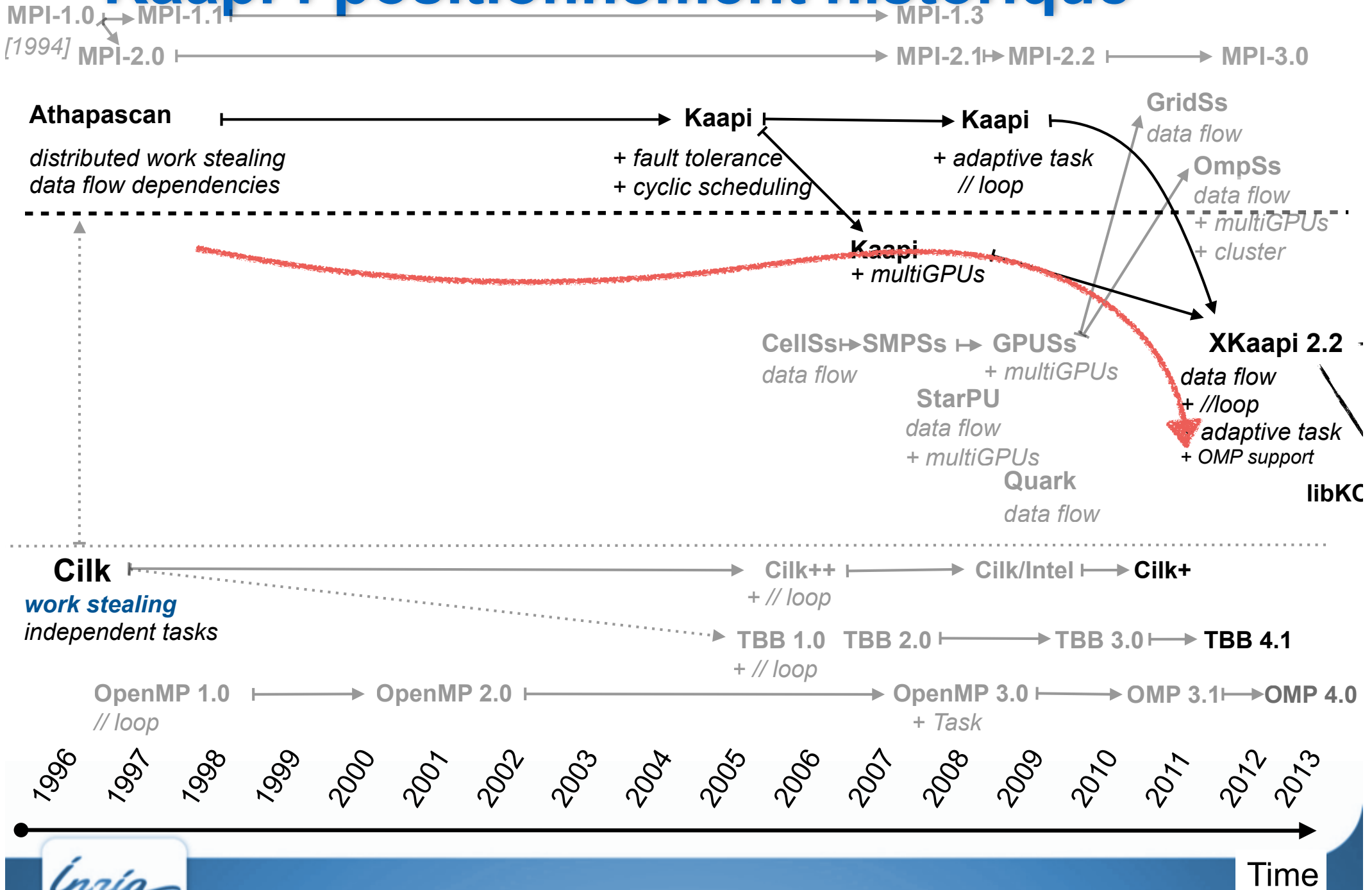
Conclusions

- **La programmation des architectures hybrides**
 - un même environnement comme OpenMP n'est pas encore mature
 - code avec les tâches et dépendances ? Oui => une version des PLASMA
 - code avec les targets ?
 - un modèle à base de tâche est bien adapté pour la gestion multi-GPUs
 - ordonnancement par vol de travail faisable, sans modèle de performance !
 - restera complexe car actuellement plusieurs modèles de parallélisme à maîtriser:
CPU et GPU [Jonathan]
 - sauf à ré-utiliser des bibliothèques... cublas etc
 - uniformisation des approches ? Modèle de tâche pour GPU [Europar 2012] ?
- **Les architectures modernes de HPC vont être hybrides pendant un temps**
 - Non poursuite du KNL
 - Exploitation des plusieurs (>2) GPUs par nœuds ! 6 sur les OpenPower de Summit

Perspectives

- Uniformisation de la programmation distribué, NUMA et multi-GPUs
 - 1 même programme parallèle sur plusieurs architectures ?
 - tentatives Grenobloise :
 - Cluster : Athapascan [PACT98],
 - Cluster + Grid : Kaapi [Pasco07]
 - GPU : [Europar2012]
- Coût de maintenance des codes ?
 - par exemples approches à composant pour le HPC
 - importance à gérer les évolutions des codes et les variations d'architecture
- Analyse des performances automatiques ou semi-automatiques

Kaapi : positionnement historique



Questions ?

Bibliographie

CPU and GPU

- João V. F. Lima, Thierry Gautier, Vincent Danjean, Bruno Raffin, Nicolas Maillard. Design and analysis of scheduling strategies for multi-CPU and multi-GPU architectures. *Parallel Computing* 44: 37-52 (2015)
- Raphaël Bleuse, Thierry Gautier, João V. F. Lima, Grégory Mounié, Denis Trystram. Scheduling Data Flow Program in XKaapi: A New Affinity Based Algorithm for Heterogeneous Architectures. *Euro-Par 2014*: 560-571
- Thierry Gautier, Joao Vicente Ferreira Lima, Nicolas Maillard, Bruno Raffin. XKaapi: A Runtime System for Data-Flow Task Programming on Heterogeneous Architectures. In Proc. of the 27-th IEEE International Parallel and Distributed Processing Symposium (IPDPS), Boston, USA, jun 2013.
- Thierry Gautier, Joao Vicente Ferreira Lima, Nicolas Maillard, Bruno Raffin. Locality-Aware Work Stealing on Multi-CPU and Multi-GPU Architectures. 6th Workshop on Programmability Issues for Heterogeneous Multicores (MULTIPROG), Berlin, Allemagne, jan 2013.
- Julio Toss, Thierry Gautier. A New Programming Paradigm for GPGPU. *EUROPAR 2012*, Rhodes Island, Greece, aug 2012.
- J.V.F. Lima, Thierry Gautier, Nicolas Maillard, Vincent Danjean. Exploiting Concurrent GPU Operations for Efficient Work Stealing on Multi-GPUs. 24rd International Symposium on Computer Architecture and High Performance Computing (SBAC-PAD), Columbia University, New York, USA, oct 2012.
- Everton Hermann, Bruno Raffin, François Faure, Thierry Gautier, Jérémie Allard. Multi-GPU and Multi-CPU Parallelization for Interactive Physics Simulations. *EUROPAR 2010*, Ischia Naples, Italy, aug 2010.

Data flow programming language

- Thierry Gautier, Fabien Le Mentec, Vincent Faucher, Bruno Raffin. X-kaapi: A Multi Paradigm Runtime for Multicore Architectures. *ICPP 2013*: 728-735
- Marc Tchiboukdjian, Nicolas Gast, Denis Trystram: Decentralized List Scheduling *CoRR abs/1107.3734*: (2011). To appear.
- Thierry Gautier, Xavier Besseron, Laurent Pigeon. KAAPI: A Thread Scheduling Runtime System for Data Flow Computations on Cluster of Multi-Processors. *Parallel Symbolic Computation'07 (PASCO'07)*, (15–23), London, Ontario, Canada, 2007.
- François Galilée, Jean-Louis Roch, Gerson Cavalheiro, Mathias Doreille. Athapascan-1: On-line Building Data Flow Graph in a Parallel Language. *International Conference on Parallel Architectures and Compilation Techniques, PACT'98*, :88–95, Paris, France, oct 1998.

OpenMP & Kaapi

- Philippe Virouleau, François Broquedis, Thierry Gautier, Fabrice Rastello. Using Data Dependencies to Improve Task-Based Scheduling Strategies on NUMA Architectures. *Euro-Par 2016*: 531-544
- Philippe Virouleau, Adrien Roussel, François Broquedis, Thierry Gautier, Fabrice Rastello, Jean-Marc Gratien: Description, Implementation and Evaluation of an Affinity Clause for Task Directives. *Proceedings of the 12th International Conference on OpenMP in a Heterogeneous World (IWOMP)*, Osaka, Japan, 2016
- Philippe Virouleau , Pierrick Brunet, Francois Broquedis, Nathalie Furmento, Samuel Thibault, Olivier Aumage, Thierry Gautier. Evaluation of the OpenMP Dependent Tasks with the KASTORS Benchmarks Suite. *Proceedings of the 10th International Conference on OpenMP in a Heterogeneous World (IWOMP)*, Bahia, Brazil, sep 2014.
- Marie Durand, Francois Broquedis, Thierry Gautier, Bruno Raffin. An Efficient OpenMP Loop Scheduler for Irregular Applications on Large-Scale NUMA Machines. *Proceedings of the 9th International Conference on OpenMP in a Heterogeneous World (IWOMP)*, 8122:141-155, Lecture Notes in Computer Science, Canberra, Australia, sep 2013.
- Francois Broquedis, Thierry Gautier, Vincent Danjean. libKOMP, an Efficient OpenMP Runtime System for Both Fork-Join and Data Flow Paradigms. *IWOMP*, :102-115, Rome, Italy, 2012.